

Grado en Biología

Memoria del Trabajo de Fin de Grado

**Secuenciación parcial del genoma mitocondrial del clúster
buzzatii de *Drosophila***

**Secuenciación parcial do xenoma mitocondrial do clúster
buzzatii de *Drosophila***

**Partial sequencing of the mitochondrial genome of the *buzzatii*
cluster of *Drosophila***

López Díaz, Iñaki

Curso 2019-2020. Junio, 2020

*Director Académico: Naveira Fachal, Horacio
Codirector: Vila Sanjurjo, Antonio*

ÍNDICE

Resumen	5
Resumo	5
Summary.....	6
Palabras clave	6
1. Introducción.....	7
2. Objetivos	11
3. Material y métodos.....	11
4. Resultados	14
5. Discusión	19
6.a. Conclusiones.....	21
6.b. Conclusóns.....	22
6.c. Conclusions.....	23
7. Anexo	24
8. Bibliografía.....	52

Resumen

El clúster *buzzatii* del género *Drosophila* está compuesto por siete especies nativas de Suramérica. En este trabajo se realizó un análisis de las secuencias obtenidas por secuenciación Sanger de los genomas mitocondriales de las cepas SL6 y SL101 “white” pertenecientes a la especie *D. buzzatii*. Los resultados obtenidos en la tesis doctoral de Luis Carlos Rodríguez López (2019) fueron la motivación para realizar este estudio. En ellos se observaron perturbaciones en la ratio normal machos:hembras de la descendencia producida por cruces de individuos de estas dos cepas. Los resultados de este trabajo muestran como la cepa SL101 “white” presenta el genoma mitocondrial de la especie *D. koepferae*, filogenéticamente cercana a *D. buzzatii*. SL101 “white” presenta el genoma mitocondrial de esta especie, pero no es exactamente igual al obtenido en individuos silvestres, probablemente debido en parte al aislamiento que sufrió la cepa al vivir en el laboratorio durante mucho tiempo.

Resumo

O clúster *buzzatii* do xénero *Drosophila* está composto por sete especies nativas de Suramérica. Neste traballo realizouse una análise das secuencias obtidas por secuenciación Sanger dos xenomas mitocondriais das cepas SL6 e SL101 “white” pertencentes á especie *D. buzzatii*. Os resultados obtidos na tese doctoral de Luis Carlos Rodríguez López (2019) foron a motivación para a realización deste estudo. Neles observáronse perturbacións na ratio normal machos:femias da descendencia producida por cruces de individuos destas dúas cepas. Os resultados deste traballo mostran como a cepa SL101 “white” presenta o xenoma mitocondrial da especie *D. koepferae*, filoxenéticamente cercana a *D. buzzatii*. SL101 “white” presenta o xenoma mitocondrial desta especie, pero non é exactamente igual ao obtenido en individuos silvestres, probablemente debido en parte ao aillamento sufrido pola cepa ao vivir no laboratorio por moito tempo.

Summary

The *buzzatii* cluster of the genus *Drosophila* is made up of seven species native to South America. In this work, an analysis of the sequences obtained by Sanger sequencing of the mitochondrial genomes of the SL6 and SL101 “white” strains belonging to the *D. buzzatii* species was performed. The motivation to carry out this study was the results obtained in the doctoral thesis of Luis Carlos Rodríguez López (2019), in which disturbances in the normal male: female ratio were observed in the offspring produced by crosses of individuals of these two strains. The results of this work show how the SL101 “white” strain presents the mitochondrial genome of the species *D. koepferae*, phylogenetically close to *D. buzzatii*. SL101 “white” presents the mitochondrial genome of this species, although not exactly the same, probably due in part to the isolation that the strain suffered when living in the laboratory for such a long time.

Palabras clave

Sanger, PCR, bioinformática, mitogenómica, mtDNA, alineamiento múltiple, cíbridos xenomitondriales, haplotipo.

1. Introducción

El clúster *buzzatii* está compuesto por 7 especies próximamente emparentadas: *D. buzzatii*, *D. koepferae*, *D. serido*, *D. seriema*, *D. borbonema*, *D. sp. D* y *D. sp. B* (Manfrin *et al.*, 2001). Son especies naturales de la región de América del Sur, estando presentes en Argentina, Brasil, Bolivia, Paraguay, y en el caso de *D. buzzatii*, Europa y Australia (Brito *et al.*, 2002). El principal factor que determina su distribución y con ello, su diversificación, es la presencia de cactus, fundamentales para su reproducción, ya que sus larvas se alimentan de cactus en proceso de putrefacción (Manfrin *et al.*, 2001). Tanto es así, que la introducción en Europa y Australia del cactus *Opuntia* spp. llevó a la dispersión de *D. buzzatii* por estas regiones (Rossi *et al.*, 1996).

El genoma mitocondrial de algunas de las especies de este grupo ya ha sido estudiado con anterioridad. En el estudio de Rossi *et al.* (1996), se encontró que *D. buzzatii* presenta una gran homogeneidad en el patrón de restricción de su mtDNA a lo largo de toda Suramérica, en parte debido a su alta capacidad de dispersión y a la poca abundancia de polimorfismos endémicos (Rossi *et al.*, 1996). Esto podría haber sido causado por un barrido selectivo, que produjo un gran incremento en la frecuencia de los haplotipos I y II (los más frecuentes), conjuntamente con la aparición de efectos botella periódicos que influirían en gran medida sobre la fijación de estos haplotipos (Rossi *et al.*, 1996). Este grado de homogeneidad no es uniforme a lo largo de este territorio, habiendo regiones (como por ejemplo, Brasil), donde las poblaciones son más polimórficas que en otras (como las de Argentina; Brito *et al.*, 2002).

Además, estudios más concretos en los que se analizaron genes mitocondriales (por ejemplo, mtDNA COI) demostraron la monofilia del clúster y las relaciones filogenéticas presentes en el propio grupo: *D. buzzatii* y *D. koepferae* se presentan como especies hermanas, dejando en otro grupo al resto de especies (Manfrin *et al.*, 2001). Estas dos especies pertenecerían al mismo haplotipo mitocondrial, siendo este considerado basal en el grupo (Manfrin *et al.*, 2001). Existen otros dos haplotipos más en el grupo: uno en el que se encuentran *D. sp. D* y una población de *D. sp. B* del sureste de

Suramérica y otro en el que se encuentran *D. serido*, *D. bourbonema*, *D. seriema* y las poblaciones de *D. sp. B* del noreste de Brasil y de la costa atlántica (Manfrin *et al.*, 2001).

Se piensa que esta separación en 3 haplotipos es debida a que la separación del clado de *D. buzzatii* y *D. koepferae* del resto de especies del clúster *buzzatii* se dio hace 6-12 millones de años, mucho antes de que se formasen las otras especies (3-6 millones de años; Manfrin *et al.*, 2001).

Cabe imaginar que tras tanto tiempo conviviendo juntas, estas especies podrían presentar híbridos en los límites de sus zonas de distribución (Manfrin *et al.*, 2001). En estos híbridos, además de la mezcla de material genético nuclear, se podría producir una introgresión diferencial de material genético mitocondrial (se ha observado de *D. sp. D* a *D. sp. B*; Manfrin *et al.*, 2001). El estudio de este material genético mitocondrial puede ser de gran ayuda a la hora de establecer los linajes maternos que originaron a una especie, gracias a que en el género *Drosophila* su herencia es exclusivamente maternal y a que es un material genético que no presenta recombinación (Moreyra *et al.*, 2019; Reilly & Thomas Jr, 1980).

Existen pruebas de la posibilidad de estas introgresiones observadas en laboratorio. Aubert y Solignac en (1990) cruzaron a individuos de dos especies cercanas del género *Drosophila* (*D. simulans* y *D. mauritiana*). Comprobaron que al fecundar a una hembra de *D. simulans* con un macho de *D. mauritiana*, se producían individuos híbridos en los que las hembras eran fértiles (los machos no siempre lo eran; Aubert & Solignac, 1990). Tras un relativamente alto número de generaciones (unas 33), el genoma mitocondrial de *D. simulans* quedaba fijado en la población gracias a la mayor *fitness* presentada por los individuos híbridos con mtDNA de *D. simulans* y genoma nuclear de *D. mauritiana* (con un porcentaje muy bajo de genoma nuclear cuyo origen es *D. simulans*; Aubert & Solignac, 1990)

En la tesis doctoral de Luis Carlos Rodríguez López, este realizó experimentos con el objetivo de determinar la influencia sobre la fertilidad que tenía la

introgresión de fragmentos del genoma de *D. koepferae* en individuos de la especie *D. buzzatii* (figura 1; Rodríguez López, 2015).

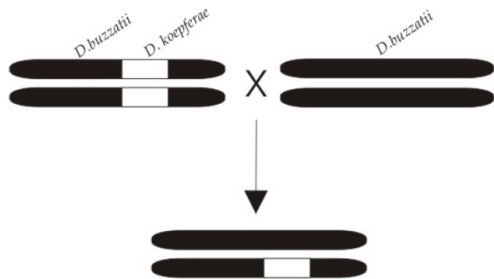


Figura 1: ejemplo de cruce entre un individuo *D. buzzatii* con un fragmento introgresado de DNA nuclear de *D. koepferae* con un individuo de la cepa SL101 “white” (Rodríguez López, 2015).

Todas las cepas mostraban una fertilidad normal (la ratio entre machos y hembras era 1:1; figura 2) cuando se cruzaban individuos de la misma cepa, pero al realizar cruces entre miembros de las cepas buzSL6 y buzSL101 “white” se observó una reducción en la fertilidad (Rodríguez López, 2015).

Cruzamientos control:

En la siguiente tabla se muestran los valores de las poblaciones iniciales que se utilizaron en este estudio, y que constituyen alguna parte del genoma de los híbridos.

	Líneas control			
	<u>macho</u>	<u>hembra</u>	<u>g</u>	<u>Homogeneidad Bonf.</u>
<i>D. koepferae San Luis (8)</i>	280	314		ns
<i>D. buzzatii San Luis (6)</i>	252	264		ns
<i>D. buzzatii San Luis 101 white</i>	202	211		ns
<i>D. buzzatii San Luis 4s/s</i>	254	251		ns

*** = $P < 0,001$ ** = $P < 0,01$ * = $P < 0,05$ (significación estandar) / ns=no significativo s=significativo (Bonferroni)
g = nº machos / total descendencia

Figura 2: resultados simplificados obtenidos de los cruces realizados por Luis Carlos Rodríguez López (Rodríguez López, 2015). Se comprobó la ratio sexual en cruces con individuos silvestres de *D. koepferae* (en imagen, “*D. koepferae San Luis(S)*”), *D. buzzatii* (“*D. buzzatii San Luis (6)*”), *D. buzzatii* “white” (“*D. buzzatii San Luis 101 white*”) y *D. buzzatii* silvestre con una inversión en el brazo pequeño del cromosoma 4 (“*D. buzzatii San Luis 4s/s*”; Rodríguez López, 2015).

Sus resultados mostraron que, cuando se cruzan machos de la cepa buzSL6 con hembras buzSL101, aparecen aproximadamente la mitad de machos que de hembras (figura 3; Rodríguez López, 2015). En cambio, cuando el cruce es de una hembra de la cepa buzSL6 con un macho buzSL101, este defecto no se produce, manteniéndose la ratio 1:1 esperada (Rodríguez López, 2015). Como se puede observar en la tabla 3, la introgresión de fragmentos del genoma nuclear de *D. koepferae* en *D. buzzatii* no es el causante de esta distorsión de la ratio machos:hembras observada, ya que los cruces entre individuos de esas cepas modificadas con otros de *D. buzzatii* no producen ese defecto en la ratio (además de la ausencia de problemas en el cruce macho SL101 “white” con hembra SL6). Se establece entonces la presencia de un efecto materno que está modificando la ratio machos:hembras esperadas, achacándose a un polimorfismo mitocondrial (Rodríguez López, 2015). Se llegó a esta hipótesis al tener en cuenta estudios en los que se observaron efectos deletéreos (como la esterilidad) en machos de *D. melanogaster*, todo debido a un polimorfismo del citocromo b mitocondrial (CYBT; Clancy *et al.*, 2011).

4.-El cruce de híbridos homocigotos con hembras de la línea *D. buzzatii(w)* produce defecto de machos

Se presenta los valores $|g-0'5|$ de estas líneas, donde se aprecia que todas ellas producen defecto de machos con un nivel significativo al 5% como mínimo.

118

La descendencia de machos híbridos, introgresados con cualquier fragmento en homocigosis, cruzados con hembras buzzatii white presenta siempre un defecto de machos. No se observa este fenómeno cuando esa misma clase de machos se cruza con buzzatii de ojos salvajes (bSL6)

Resultados

<u>padre</u>	<u>defecto de machos</u>	<u>madre</u>	$ g-0,5 $
A1		<i>D. buzzatii(w)</i>	<i>0,175</i>
A4-B3 (I)		<i>D. buzzatii(w)</i>	<i>0,176</i>
A4-B3 (II)		<i>D. buzzatii(w)</i>	<i>0,304</i>
C2-C3		<i>D. buzzatii(w)</i>	<i>0,296</i>
D1-D5		<i>D. buzzatii(w)</i>	<i>0,125</i>
E1-E5		<i>D. buzzatii(w)</i>	<i>0,117</i>

$|g-0,5| = \text{valor absoluto de } ((n^{\text{o}}\text{machos}/\text{total descendencia}) - 0'5)$

Figura 3: resultados simplificados obtenidos con los cruces realizados por Luis Carlos Rodríguez López, en los que se presenta la relación entre machos y hembras observada (Rodríguez López, 2015). Estos cruces se realizaron con *D. buzzatii* SL6 silvestre

(“*D.buzzatii*”), *D. buzzatii* SL6 con introgresiones de *D. koepferae* en diferentes zonas de su genoma nuclear (“A1”, “A4-B3 (I)”, “A4-B3 (II)”, “C2-C3”, “D1-D5” y “E1-E5”) y con *D. buzzatii* SL101 “white” (“*D. buzzatii* (w)”; Rodríguez López, 2015).

Es este hallazgo lo que motivó a la búsqueda de diferencias entre las secuencias mitocondriales de buzSL6 y buzSL101 “white”.

2. Objetivos

El objetivo original de este trabajo era comprobar qué diferencias existían entre las secuencias mitocondriales de las cepas buzSL6 (mtDNA de *D. buzzatii*) y buzSL101 “white”. Durante la realización de un trabajo de TFG paralelo a partir de un único fragmento de PCR, se observó que la homología del fragmento amplificado era mayor con la secuencia del mtDNA de *D. koepterae* que con la de *D. buzzatti*. Por este motivo decidimos averiguar si este fenómeno se daba a nivel global, utilizando todas las secuencias generadas en estos estudios para un alineamiento con los genomas de *D. koepterae* y *D. buzzatti*.

3. Material y métodos

Cepas de partida

Se han utilizado 2 cepas de *Drosophila buzzatii*: la cepa buzSL6 (San Luis 6) y la cepa buzSL101 “white” (San Luis 101 “white”; Rodríguez López, 2015). Estas cepas fueron suministradas por el Departamento de Genética de la Universidad Autónoma de Barcelona (UAB), donde se almacena uno de los mayores catálogos que existe de cepas del clúster *buzzatii* (Dr. Naveira, comunicación personal). El genoma mitocondrial de la cepa SL101 “white” de la UAB nunca había sido caracterizado hasta ahora.

Diseño de cebadores

Los cebadores utilizados para la PCR y la secuenciación Sanger han sido optimizados para su uso en *Drosophila buzzatii*. Este paso de optimización fue necesario en todos nuestros cebadores, ya que se había partido de cebadores diseñados para el ya conocido genoma mitocondrial de *Drosophila melanogaster*. Posteriormente, tras la obtención del genoma mitocondrial casi completo de *D. mojavensis* (una especie mucho más cercana a *D. buzzatii*), los

cebadores se optimizaron para esta especie. Gracias a la obtención de dos fragmentos secuenciados del mtDNA de *D. buzzatii*, ensamblados por Borja Freire Castro (fragmento_1_buzzatii - 1517 bp - y fragmento_2_buzzatii - 9074 bp -) a partir de secuencias obtenidas en el *Drosophila buzzatii* Genome Project (www.dbuz.uab.cat.), se pudieron optimizar los cebadores que se localizaban en las regiones secuenciadas. Posteriormente, con la aparición de un estudio llevado a cabo por el Instituto de Ecología, Genética y Evolución de Buenos Aires, en el que se secuenció el genoma mitocondrial de *Drosophila buzzatii* al completo mediante NGS (Moreyra *et al.*, 2019), se decidió tomar esta nueva secuencia y optimizar todas las secuencias escogidas para ser cebadores con el uso del programa UGENE. Tras esto, se formaron parejas con los cebadores y, utilizando la herramienta “OligoAnalyzer” del IDT (“Integrated DNA Technologies”) se comprobó que no hubiesen diferencias muy grandes entre sus temperaturas de “melting”. Además, se chequeó las ΔG máximas de cada cebador, procurando mantener valores negativos para la unión de cada cebador con su secuencia diana y valores positivos para la unión del cebador y su pareja y para la unión del cebador consigo mismo (evita la formación de bucles; tablas 1 y 2).

Extracción del mtDNA

Debido a la reciente pandemia del COVID-19, este paso, la realización de PCRs y el envío de las secuencias a secuenciar al SAI fue llevado a cabo por el equipo de genética y los compañeros de TFG y del máster de Biología Molecular, Celular y Genética de la Universidad de A Coruña. La extracción fue realizada con el kit “NZY Tissue gDNA Isolation kit” de Nzytech. El kit contiene buffers de lisis con proteinasa K y SDS. Para la extracción, se tomó una muestra de unos 25 mg de tejido y se depositó en un tubo de centrifuga. Tras esto, se añadió el buffer NT1, la solución de proteinasa K y se mezcló. Hecho esto, se le añadió a la mezcla el buffer NL y se volvió a mezclar. Por último, se precipitó el DNA mediante el uso de etanol y se purificó mediante el uso de una columna “NZYSpin Tissue Column”.

PCR

La PCR fue llevada a cabo con el kit “NZYTaq 2 x Colourless Master Mix, separate MgCl₂” de Nzytech (lote 15071). Este kit presenta en una misma solución una *Taq* polimerasa recombinante modificada, purificada a partir de *Escherichia coli*, dNTPs y un *buffer* de reacción adecuado. La reacción se llevó a cabo en 25 µL de solución. Para ello se añadió la mezcla maestra (2.5 U), la solución de MgCl₂ 50mM, la solución con los cebadores y la de la secuencia a amplificar. El volumen restante se completó con agua limpia de nucleasas. Tras esto, se introdujo en un termociclador, en el que se realizó una etapa de desnaturalización a 96.0°C, seguido de una etapa de hibridación a una temperatura de entre 58.4°C y 52.5°C y una última etapa de extensión a 72.0°C. Este proceso se repitió 30 veces.

Secuenciación Sanger

Ya con estas regiones amplificadas, estas fueron enviadas al SAI para realizar una secuenciación Sanger. Tras la secuenciación, se obtienen 4 secuencias: 2 de la cepa silvestre y 2 de la mutante (se enviaron cebadores *forward* y *reverse* de cada región, para así poder secuenciar cada cadena por separado y obtener 2 lecturas de la misma región). La secuenciación Sanger produjo 51 lecturas, obteniéndose 4 secuencias por producto (una *forward* y una *reverse* de cada cepa), exceptuando los productos 13 (3 lecturas: 2 de SL6 y una *forward* de SL101), 14 (2 lecturas de SL6) y 8 (2 lecturas de SL101).

Creación de secuencias consenso y alineamiento con *D. buzzatii* y *D. koepferae* A

Tras obtener las secuencias de cada producto, estas se alinearon individualmente con el mtDNA de *D. buzzatii* (MN551232; Moreyra *et al.*, 2019) con el fin de averiguar que regiones se habían secuenciado. Posteriormente se realizó un ensamblaje de las secuencias obtenidas mediante el uso del software UGENE (realización de alineamientos múltiples con el algoritmo ClusterO), obteniendo así dos secuencias consenso: una de la cepa SL6 y otra de la cepa SL101 “white”. Cada secuencia consenso se alineó con los genomas mitocondriales publicados de *D. buzzatii* (MN551232; Moreyra *et al.*, 2019) y *D. koepferae* cepa A (MN551234; Moreyra *et al.*, 2019).

4. Resultados

El primer resultado que se consiguió fue un mapa (figura 4) en el que se puede observar el solapamiento que se da entre los productos obtenidos.

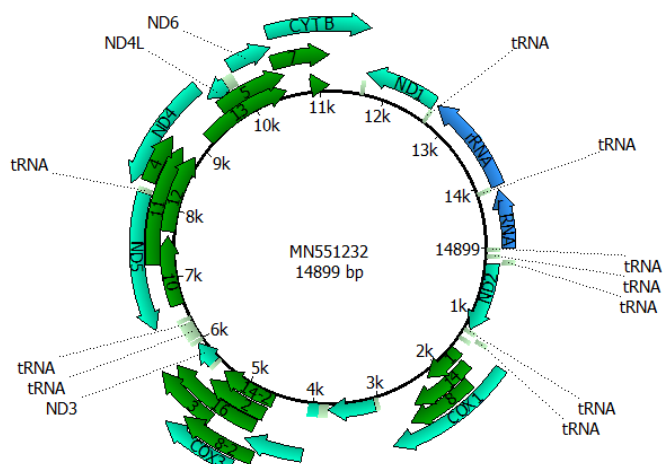


Figura 4: mapa del genoma mitocondrial de *D. buzzatii* (MN551232; Moreyra et al., 2019). En él aparecen marcadas en verde oscuro las regiones que fueron secuenciadas con cada producto (los números sobre las secuencias indican el número del producto) y en verde claro y azul, los genes del genoma.

De esta manera se pudo comprobar que existía un amplio solapamiento entre muchas de las secuencias obtenidas. De este modo, cada región que presenta solapamiento poseerá las 2 secuencias (*forward* y *reverse*) de varios productos, aumentando así el nivel de consenso obtenido (por ejemplo, en ciertos tramos existen 4 secuencias en consenso).

El alineamiento de la secuencia consenso obtenida con la cepa SL6 (consenso_SL6) con el genoma mitocondrial de *D. buzzatii* y el de *D. koepferae* muestra como la secuencia consenso cubre 4 regiones amplias de estos genomas. Estas regiones serían: 1611 – 2555 (regionA_SL6), 4568 – 5928 (regionB_SL6), 6586 – 8920 (regionC_SL6) y 9190 – 11170 (regionD_SL6; todas en coordenadas del alineamiento). Se puede apreciar con mayor claridad qué zonas ocupan en estos genomas (se muestra sobre *D. buzzatii*) en la figura 5. La cobertura obtenida con consenso_SL6 fue de un 45.02% del genoma mitocondrial de *D. buzzatii*.

En cuanto al alineamiento de la secuencia consenso de la cepa SL101 “white” con los genomas mitocondriales de *D. buzzatii* y *D. koepferae* A, en este se observan 4 regiones similares a las del anterior, que cubren: 1618 – 2703 (regionA_SLwhite), 4577 – 5937 (regionB_SLwhite), 6605 – 8897 (regionC_SLwhite) y 9163 – 11173 (regionD_SLwhite; coordenadas del alineamiento). La figura 6 muestra un mapa del genoma de *D. koepferae* A, en el que aparecen marcadas las regiones mencionadas anteriormente. La secuencia consenso_SLwhite consiguió cubrir un 45.23% del mtDNA de *D. koepferae* A.

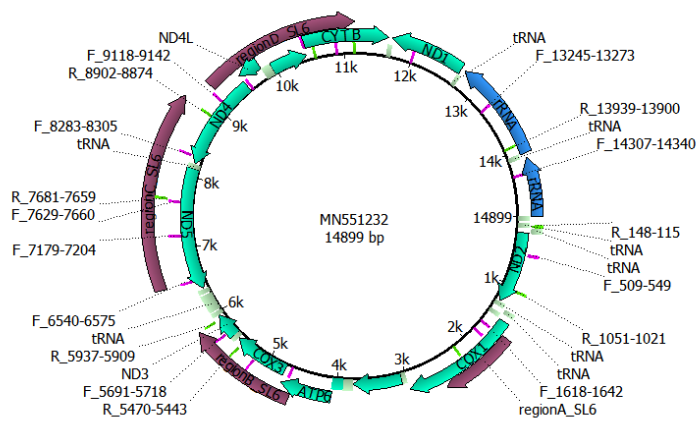


Figura 5: mapa del genoma mitocondrial de *D. buzzatii* (MN551232; Moreyra et al., 2019). En él aparecen marcados sus genes (azul y verde claro), los cebadores que se diseñaron (en rosa, cebadores forward, F_-; en verde, cebadores reverse, R_) y las zonas que cubre la secuencia consenso_SL6 (morado).

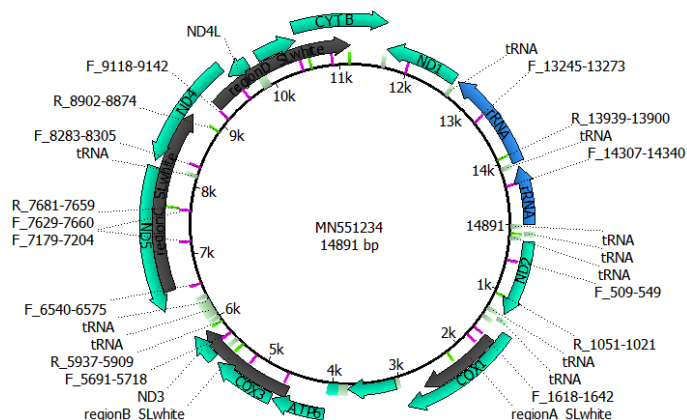


Figura 6: mapa del genoma mitocondrial de *D. koepferae* A (MN551234; Moreyra et al., 2019). Sus genes mitocondriales aparecen marcados en verde claro y en azul; los cebadores diseñados, en rosa (forward, F-) y en verde (reverse, R-); y las zonas cubiertas por la secuencia consenso_SLwhite, en gris.

Los alineamientos mencionados anteriormente se encuentran en el anexo de esta memoria (alineamiento 1 y 2, respectivamente). Seguidamente se muestra una región representativa del alineamiento con la secuencia consenso_SL6, donde se indica qué código de colores se utilizó (figura 7).

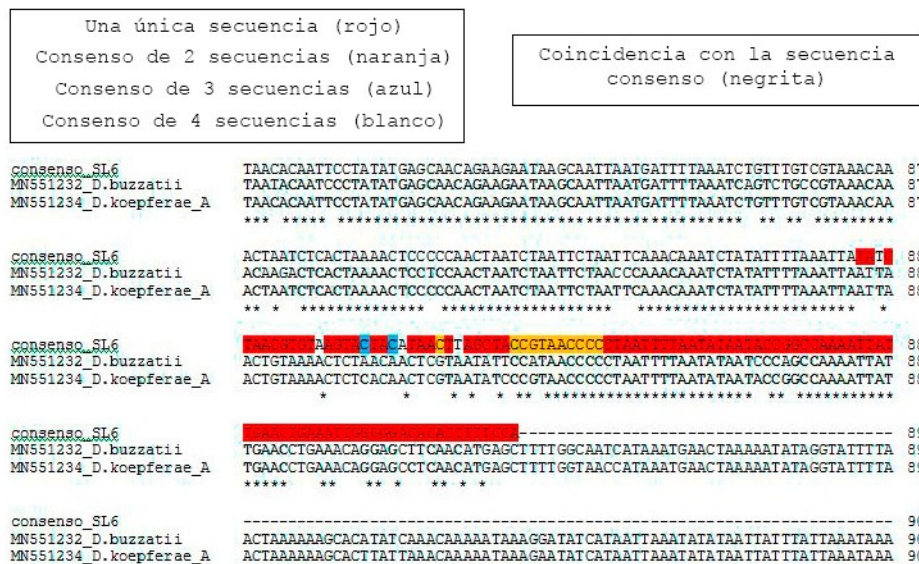


Figura 7: fragmento del alineamiento de la secuencia consenso_SL6 con los genomas mitocondriales de *D. buzzatii* y *D. koepferae A*. En ella se muestra el código de color seguido para indicar el grado en consenso presente en consenso_SL6. Además, se marcaron en negrita las posiciones de los genomas que coincidían con la secuencia consenso.

A continuación se presentan las tablas 3 y 4, que presentan los datos más importantes extraídos de los alineamientos con consenso_SL6 y consenso_SLwhite, respectivamente.

	Una única secuencia	Consenso de 2	Consenso de 3	Consenso de 4	Longitud (bp)	% similitud total con <i>D. buzzatii</i>	% similitud total con <i>D. koepferae A</i>
regionA_SL6 (% de secuencia)	42.90	5.61	51.48	0	944	93	97
regionB_SL6 (% de secuencia)	11.50	1.03	29.98	50.65	1461		
regionC_SL6 (% de secuencia)	18.84	49.64	8.87	22.66	2335		
regionD_SL6 (% de secuencia)	22.66	27.13	28.10	22.10	1968		
% similitud <i>D. buzzatii</i>	84.72	92.22	95.96	95.01	-		
% similitud <i>D. koepferae</i>	91.16	97.62	99.70	99.65	-		

Tabla 3: resumen de los datos obtenidos del alineamiento de consenso_SL6 con los genomas mitocondriales de *D. buzzatii* y *D. koepferae A*. En ella se muestran para cada región qué porcentaje de cada tipo de consenso presentan, su longitud en pares de bases, el porcentaje de similitud de cada tipo de consenso con *D. buzzatii* y *D. koepferae A* y el de toda la secuencia consenso_SL6 con los genomas mitocondriales de *D. buzzatii* y *D. koepferae A*.

	Una única secuencia	Consenso de 2	Consenso de 3	Consenso de 4	Longitud (bp)	% similitud total con <i>D. buzzatii</i>	% similitud total con <i>D. koepferae A</i>
regionA_SLwhite (% de secuencia)	51.29	19.89	28.82	0	1086	93	98
regionB_SLwhite (% de secuencia)	8.74	3.45	23.73	64.07	1361		
regionC_SLwhite (% de secuencia)	14.48	39.95	18.75	26.82	2293		
regionD_SLwhite (% de secuencia)	24.06	48.07	22.06	5.81	1995		
% similitud <i>D. buzzatii</i>	87.50	95.23	95.62	95.38	-		
% similitud <i>D. koepferae A</i>	92.48	98.22	99.87	99.75	-		

Tabla 4: resumen de los datos obtenidos del alineamiento de consenso_SLwhite con los genomas mitocondriales de *D. buzzatii* y *D. koepferae A*. Igual que en la tabla 3, se muestran para cada región qué porcentaje de consenso presentan, su longitud en pares

de bases, el porcentaje de similitud de cada tipo de consenso con *D. buzzatii* y *D. koepferae* A y el de toda la secuencia consenso_SLwhite con los genomas mitocondriales de *D. buzzatii* y *D. koepferae* A.

Cabe destacar en ambas la presencia de regiones amplias en las que un gran porcentaje de bases se estableció con un consenso de 4 secuencias, como las regiones regiónB_SL6 y regiónB_SLwhite. En menor medida, las regiones regiónC_SLwhite y regiónC_SL6, son las siguientes en presentar los mayores porcentajes de consenso de 4 secuencias. Además de haber obtenido regiones amplias, podemos ver como la mayor parte de las discrepancias (valores bajos de porcentaje de similitud) se localizan en las zonas con una única secuencia o con consenso de 2 secuencias.

La obtención de un porcentaje de similitud total mayor entre consenso_SL6 y el mtDNA de *D. koepferae* A, cuando supuestamente tendría que ser mayor con *D. buzzatii*, fue un poco inesperado. Tras mirar en los electroferogramas producidos en la secuenciación de cada secuencia de los productos, se observó que las posiciones discrepantes con *D. buzzatii* presentaban dobles picos (figura 8). En estos dobles picos aparecen el pico de la base que presenta el genoma mitocondrial de *D. buzzatii* (MN551232; Moreyra *et al.*, 2019) y el de la base del genoma mitocondrial de *D. koepferae* A (MN551234; Moreyra *et al.*, 2019).

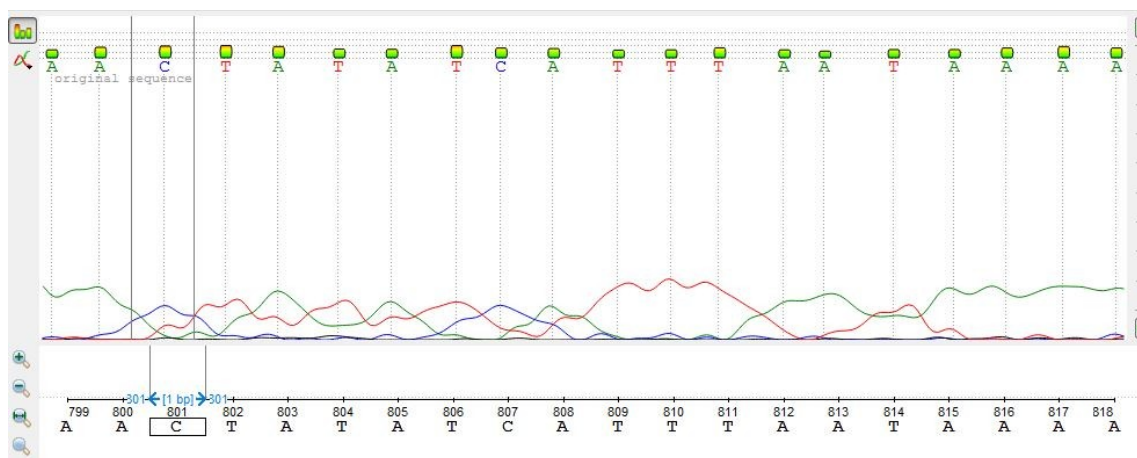


Figura 8: porción del electroferograma de la secuencia *forward* del producto 11. Aparece marcada la posición 8029 (coordenadas de *D. buzzatii*), la cual presenta un doble pico que hace que se marcase la posición como C en lugar de T.

Además, consenso_SL6 presenta un porcentaje de guanina-citosina del 24.61% y consenso_SLwhite, del 24.60%.

5. Discusión

Los resultados obtenidos no fueron los esperados en cuanto a los porcentajes de similitud de las secuencias. Debido a la proximidad filogenética de las especies estudiadas (Manfrin *et al.*, 2001), era de esperar que los porcentajes de similitud de las secuencias consenso con ambos genomas fuesen muy altos, pero si que se esperaba que la cepa SL6 se asemejase más al mtDNA de *D. buzzatii* que al de *D. koepferae* A. Esta desviación fue debida a la mezcla por error de muestras de la cepa SL6 con muestras de una cepa híbrida (cepa BC), que presentaba un genoma mitocondrial de *D. koepferae*. Este es el motivo que llevó a la aparición de dobles picos en los electroferogramas, llevando a que la secuencia consenso_SL6 no produjese los resultados esperados.

En cuanto a los resultados obtenidos con la cepa SL101 “white”, su alto grado de similitud con el genoma de *D. koepferae* A apoya a la hipótesis de que esta cepa presenta el genoma mitocondrial de *D. koepferae* en sus mitocondrias en lugar del de *D. buzzatii*. Los organismos que presentan esta condición (DNA nuclear de una única especie y mtDNA de otra) se denominan cíbridos xenomitocondriales (Deremienks *et al.*, 2015). Estos resultados concuerdan con los obtenidos por Aubert y Solignac (1990), indicando que esta intromisión del genoma mitocondrial de *D. koepferae* en esta cepa de *D. buzzatii* pudo ser debida a un mestizaje entre las dos especies, donde el mtDNA de *D. koepferae* acabó remplazando al genoma mitocondrial original de la cepa. Un reemplazo de este tipo es capaz de crear una gran variedad de nuevos fenotipos en el individuo, debido a que las interacciones mitonucleares suelen presentar efectos pleiotrópicos (Rand & Mossman, 2020). Tal reemplazo podría haber sido posible gracias a la poca estructura poblacional que presenta *D. buzzatii* (Rossi *et al.*, 1996). Esta condición habría llevado a una baja coadaptación del mtDNA y el DNA nuclear (Rand & Mossman, 2020), facilitando la entrada del mtDNA de una especie cercana (como *D. koepferae*).

Este mestizaje podría haber sido llevado a cabo gracias a que es posible la cópula entre hembras de *D. koepferae* con machos de *D. buzzatii* (el cruzamiento recíproco es impracticable debido a la morfología incompatible del aparato reproductor de los machos de *D. koepferae*; Dr. Naveira, comunicación personal).

Por otra parte, el hecho de que el porcentaje de similitud que presenta la cepa SL101 “white” con el mtDNA de *D. koepferae* A no sea del 100% (o muy cercano) podría indicar que su estancia en el laboratorio durante un largo período de tiempo llevó a la reducción en el número de polimorfismos presentes de esta población en cautividad (Brito *et al.*, 2002). Este confinamiento de 28 años (Dr. Naveira, comunicación personal) puede haber llevado a la fijación de un único haplotipo a través de procesos de deriva genética, endogamia, etc., mientras la población de *D. koepferae* A evolucionaba en la naturaleza (Moreyra *et al.*, 2019).

Además, la convivencia en una misma célula durante todos esos años pudo producir la coevolución del mtDNA de *D. koepferae* con el DNA nuclear de *D. buzzatii*, ya que es fundamental la cooperación de estos dos genomas a la hora de llevarse a cabo el metabolismo energético celular (Arnqvist *et al.*, 2010). Un ejemplo de esto sería el complejo IV (citocromo c oxidasa) de la cadena de transporte electrónico mitocondrial, formado por 10 subunidades codificadas por el genoma nuclear y 3 subunidades codificadas por el mitocondrial (Deremienks *et al.*, 2015). En este caso, la selección natural podría provocar la aparición de modificaciones en las zonas de contacto entre subunidades, tanto en las subunidades nucleares como en las mitocondriales, con el fin de incrementar la actividad del complejo IV (Deremienks *et al.*, 2015). Aunque esto podría explicar los valores observados, las discrepancias entre las dos secuencias también podrían ser debidas a fallos durante el proceso de secuenciación, ya que si nos fijamos, las regiones que presentan el mayor número de diferencias con el mtDNA de *D. koepferae* A son aquellas en las que solo se obtuvo entre una y dos lecturas.

Sus porcentajes de guanina-citosina concuerdan con los valores bajos obtenidos por Moreyra *et al.* (2019). Una de las razones por las que se piensa que este tipo de sesgo podría prevalecer y fijarse en una especie es que estos genomas son capaces de replicarse a una mayor velocidad, siendo la riqueza en adenina y timina una ventaja para los individuos con estas características (Ballard, 2000).

Además, no se consiguió una cobertura total de los genomas mitocondriales de *D. buzzatii* y *D. koepferae*, que se deberían de secuenciar con el fin de aumentar el consenso de la secuencia obtenida por Moreyra *et al.* (2019).

6. a. Conclusiones

Los alineamientos revelaron que la cepa SL101 “white” efectivamente presenta el genoma mitocondrial de *D. koepferae*. Esto se puede comprobar observando el muy elevado porcentaje de similitud que existe entre las dos secuencias, quedando demostrada su condición de cíbrido xenomitocondrial (Deremiens *et al.*, 2015).

En cuanto a la cepa SL6, no se pueden sacar demasiadas conclusiones con respecto a si esa cepa presenta el genoma mitocondrial de *D. buzzatii*, debido a que por culpa de la contaminación sufrida en las muestras no se puede saber si de forma natural esa cepa presenta un genoma mitocondrial semejante al de *D. koepferae* A o si su similitud es debida a la presencia de material genético de la cepa híbrida BC (con genoma mitocondrial de *D. koepferae*).

Por último quedaría comentar la presencia de diferencias entre las secuencias de la cepa SL101 “white” y el mtDNA de *D. koepferae*. En parte pueden ser debidas a la influencia que ha tenido sobre la cepa su existencia en condiciones de aislamiento en el laboratorio desde hace 28 años (Dr. Naveira, comunicación personal). La población ha habitado durante unas 500 generaciones (20 días por generación) un ambiente en el que ha experimentado deriva genética, endogamia, etc., llevando a la acumulación de diferencias entre el mtDNA de la cepa SL101 “white” y el de *D. koepferae*.

Estas diferencias también podrían ser debidas a la coevolución que se da entre el genoma mitocondrial y el nuclear, causada por su estrecha colaboración en el control del metabolismo celular (Arnqvist *et al.*, 2010). También podría ser una fuente de discrepancias la aparición de fallos durante la secuenciación, que pasarían más o menos desapercibidos debido al poco grado de consenso obtenido en algunas regiones.

6.b. Conclusíóns

Os alineamientos revelaron que a cepa SL101 “white” efectivamente presenta o xenoma mitocondrial de *D. koepferae*. Isto pode comprobarse observando o moi elevado porcentaxe de similitude que existe entre as dúas secuencias, quedando demostrada a súa condición de cíbrido xenomitocondrial (Deremienks *et al.*, 2015).

En canto á cepa SL6, non se poden sacar demasiadas conclusíóns con respecto a si esa cepa presenta o xenoma mitocondrial de *D. buzzatii*, debido a que por culpa da contaminación sufrida nas mostras non se pode saber si de maneira natural esa cepa presenta un xenoma mitocondrial semellante ao de *D. koepferae* A o si a súa similitude é debida á presencia de material xenético da cepa híbrida BC (con xenoma mitocondrial de *D. koepferae*).

Por último quedaría comentar a presencia de diferencias entre as secuencias da cepa SL101 “white” e o mtDNA de *D. koepferae*. En parte poden ser debidas á influencia que tivo sobre a cepa a súa existencia en condicións de aillamento no laboratorio desde dai 28 anos (Dr. Naveira, comunicación persoal). A poboación habitou durante unhas 500 xeracións (20 días por xeración) un ambiente no que experimentou deriva xénica, endogamia, etc., levando á acumulación de diferenzas entre o mtDNA da cepa SL101 “white” e o de *D. koepferae*.

Estas diferenzas tamén poderían ser debidas á coevolución que se da entre o xenoma mitocondrial e o nuclear, causada pola súa estrecha colaboración no

control do metabolismo celular (Arnqvist *et al.*, 2010). Tamén podería ser unha fonte de discrepancias a aparición de fallos durante a secuenciación, que pasarían más ou menos desapercibidos debido ao baixo grao de consenso obtido nalgunhas regíons.

6.c. Conclusions

The alignments revealed that the SL101 “white” strain in fact had *D. koepferae*’s mitochondrial genome. This can be check observing the high similarity percentage between these two sequences, proving its xenomichondrial cibrid condition (Deremiens *et al.*, 2015).

About the SL6 strain, not too many conclusions can be drawn regarding whether that strain has the mitochondrial genome of *D. buzzatii* or not, because due to the contamination suffered in this samples, it is not possible to know if this strain naturally presents a mitochondrial genome similar to that of *D. koepferae* A or if its similarity is due to the presence of the hybrid BC strain (with *D. koepferae*’s mitochondrial genome).

Finally it remains to comment on the presence of differences between the sequences of the SL101 “white” strain and the mtDNA of *D. koepferae*. In part they may be due to the influence that isolation conditions had in the strain’s existence in the laboratory for 28 years (Dr. Naveira, personal communication). The population has lived 500 generations (20 days per generation) in an ambient in which it has experimented genetic drift, inbreeding, etc., leading to the accumulation of differences between SL101 “white” strain mtDNA and *D. koepferae*’s.

These differences could also be due to the coevolution that occurs between the mitochondrial and nuclear genomes, caused by their close collaboration in the control of cellular metabolism (Arnqvist *et al.*, 2010). It could also be a source of discrepancies the appearance of failures during sequencing, which would go more or less unnoticed due to the low degree of consensus obtained in some regions.

7. Anexo

Nombre del cebador (<i>D. buzzatii</i>)	Localización del cebador (<i>D. buzzatii</i>)		Secuencia del cebador (secuencia directa)	Longitud (bp)	Contenido en GC (%)	Temperatura de melting (°C)	Peso molecular (g/mol)	ΔG máxima (kcal/mol)	"Hairpin" más estable (kcal/mol)	Autodímero más estable (kcal/mol)
	Desde	Hasta								
F_509-549	509	549	TTTCAATAATTACATTATCA ACTTTATTATTAAGAGAGGA	41	17.1	54.5	12587.3	-66.49	-1.63	-7.80
F_1618-1642	1618	1642	GTAATTGTAACAGCTCACGCTTTG	25	40.0	55.0	7647.0	-44.51	-0.83	-6.34
F_1768-1792	1768	1792	CCTCCTGCTTAACACTTTGTTAG	25	40.0	54.3	7548.9	-44.27	-1.66	-6.20
F_4635-4663	4635	4663	GCCCTTTAGTTAGAATCAGCTGTTGC	29	37.9	56.8	8879.8	-51.23	-1.45	-10.24
F_5180-5204	5180	5204	GAGCCCATCATAGTTAACGGAGG	25	44.0	55.5	7730.1	-46.26	-1.70	-6.50
F_5691-5718	5691	5718	CTTAGTTGACCGAGAAAAAGTTCAACC	28	39.3	56.4	8580.6	-50.18	0.96	-5.49
F_6540-6575	6540	6575	GACCACCCTTGATCAAA TCTTTACAAATAACTGG	33	36.4	58.4	10006.6	-61.23	-1.05	-12.42
F_7179-7204	7179	7204	GCTCCAGCACATATAAATAATGTC	26	34.6	52.6	7931.2	-45.41	-0.89	-5.09
F_7629-7660	7629	7660	CATCCCCATAATTAA ATATTCAAGCAATTGC	32	34.4	57.1	9686.4	-60.36	-1.86	-15.55
F_8283-8305	8283	8305	CCATTCTAAAGCATAAACCCC	23	39.1	52.3	6920.6	-43.92	0.97	-3.89
F_9118-9142	9118	9142	CTGTAAACGCTCTGGTGATACCC	25	48.0	57.6	7608.0	-46.31	-0.99	-4.41
F_9552-9576	9552	9576	GAAAATAATCATCCATGAGTCG	25	36.0	52.5	7649.0	-44.95	-0.71	-5.38
F_10447-10473	10447	10473	CAAATTATTTAAAGGACCTCTTCGAC	27	33.3	52.8	8226.4	-47.85	-0.07	-8.74
F_10890-10914	10890	10914	GAGGTCAAATATCTTCTGAGGAGC	25	44.0	55.2	7721.1	-43.66	0.29	-3.91
F_11974-12002	11974	12002	CCTCCTCTATACTCTACATTAACCC	29	41.0	55.8	8642.7	-48.72	1.80	-4.85
F_13245-13273	13245	13273	GCCTCAATTAAAAGACTAATGATTATGC	29	31.0	53.5	8883.9	-50.41	0.10	-5.36
F_14307-14340	14307	14340	ATTATTACTTAAATAT AAGCTACACCTTGATCTG	34	26.5	53.9	10502.9	-53.99	-0.83	-6.34

Tabla 1: cebadores forward (F_) utilizados en la realización de PCRs y secuenciación Sanger.

Nombre del cebador (<i>D. buzzatii</i>)	Localización del cebador (<i>D. buzzatii</i>)		Secuencia del cebador (secuencia directa)	Longitud (bp)	Contenido en GC (%)	Temperatura de melting (°C)	Peso molecular (g/mol)	ΔG máxima (kcal/mol)	"Hairpin" más estable (kcal/mol)	Autodímero más estable (kcal/mol)
	Desde	Hasta								
R_148-115	115	148	GATGCACAAAAGTTTT GATACTTTAGAAATAG	34	26.5	54.6	10502.9	-56.7	-2.8	-8.8
R_1051-1021	1021	1051	GAAAGTATTGGCTAC AAAAAGTAGTTGTGTTG	31	32.3	55.5	9637.3	-52.5	-0.8	-5.2
R_2199-2172	2172	2199	GGGTAAAATTAAAATATAAATTCTGGG	28	28.6	51.2	8683.7	-49.4	0.6	-5.4
R_5470-5443	5443	5470	GTCAATATCATGCTGCTGCTCAAATCC	28	42.9	58.5	8498.6	-51.3	-2.1	-5.4
R_5937-5909	5909	5937	CCTTGATTCATTCATGGTATAATCCACC	29	37.9	56.0	8777.8	-51.64	-0.7	-5.4
R_7681-7659	7659	7681	GGTGATGTAGCTTTATTATTAGC	23	34.8	49.2	7099.7	-38.4	-0.2	-6.3
R_8902-8874	8874	8902	GCTCCTGTTCAAGGTTCAATAATTTGGC	29	41.4	58.7	8864.8	-59.5	-2.5	-6.6
R_10599-10575	10575	10599	CCTAAAAGAGATCCAAAATTCATC	25	32.0	50.5	7602.8	-43.7	0.1	-9.2
R_11161-11141	11141	11161	CGTAAAATAAGGGTGAAAGGG	21	42.9	51.2	6592.4	-40.4	1.8	-3.6
R_11383-11355	11355	11383	CCATTCTAAAAGCATAAACCCC	28	17.9	46.8	8617.7	-44.6	-1.5	-18.0
R_13939-13900	13900	13939	GTTTAATAGTATTGTAAAAGA AAATTGAATATTTGAAA	40	15.0	53.4	12427.2	-65.0	-1.0	-11.7

Tabla 2: cebadores reverse (R_) utilizados en la realización de PCRs y secuenciación Sanger.

Alineamiento 1: alineamiento múltiple de consenso_SL6 con el genoma mitocondrial de *D. buzzatii* y *D. koepferae A.*

CLUSTAL W 2.0 multiple sequence alignment

consenso_SL6 MN551232_D.buzzatii MN551234_D.koepferae_A	----- AATGAATTGCCTGATAAAAGGGTACCTTGATAGGGAAATTATGTAGTATTCTACATTCACTAAACCTT 70 AATGAATTGCCTGATAAAAGGGTACCTTGATAGGGAAATTATGTAGTATTCTACATTCACTAAACCTT 70
consenso_SL6 MN551232_D.buzzatii MN551234_D.koepferae_A	----- TTATTTCTAAAAAAAGTAATTATCTAATAGAATTAAACTATTCCTAAAGTATCAAAAACCTT 140 TTATTATTTTTTAAAGCAATTATCTAATAGAATTAAACTATTCCTAAAGTATCAAAAACCTT 140
consenso_SL6 MN551232_D.buzzatii MN551234_D.koepferae_A	----- TGTGCATCATACACTAAATATAAAAGATAAGCTAATTAAGCTACTGGGTCATACCCCATTTATAAG 210 TGTGCGTGTACACTAAATATAAAAGATAAGCTAATAAAGCTACTGGGTCATACCCCATTTATAAG 210
consenso_SL6 MN551232_D.buzzatii MN551234_D.koepferae_A	----- GTTTTAATCCTTTCTTTAACTTAAACAACCTTCAAAAATTTTACAAATAATAATTATG 280 GTTTTAATCCTTTCTTTAACTTAAACAATTCTCAAAAATTTTACAAATAATAATTATG 280
consenso_SL6 MN551232_D.buzzatii MN551234_D.koepferae_A	----- GAACCTCTAACAGTAACCGCAAATTCTGGTAGGAGCTGAAATAGGTTAGAAATTAAATTATC 350 GAACCTCTAACAGTAACGTCAAATTCTGGTAGGAGCTGAAATAGGTTAGAAATTAAATTATC 350
consenso_SL6 MN551232_D.buzzatii MN551234_D.koepferae_A	----- TTTTATCCCCCTATAAGAGATAGTAAATAATTAAACTGAAGCTTCTTAAATTTAAACC 420 TTTTATCCCCCTATAAGAGATAGTAAATAATTAAACTGAAGCTTCTTAAATTTAAACC 420
consenso_SL6 MN551232_D.buzzatii MN551234_D.koepferae_A	----- CAAGCTCTTGCTTCAACAGTCTTTATTTCCGTAAATTAAATTAGAAAATAGCATAAAATTATG 490 CAAGCTCTTGCTTCAACAGTCTTTATTTCTGTAAATTAAATTAGAAAATATAAAATTATG 490
consenso_SL6 MN551232_D.buzzatii MN551234_D.koepferae_A	----- AAATTAAATAGTCTTTATTCAATAATTACATTACACTTTATTAAATTAGAAAAGAGGAACAGCTCCATT 560 AAATTAAATATTCTTTACTCAATAATTACATTACACTTTATTAAATTAGAAAAGAGGAACAGCCCCATT 560
consenso_SL6 MN551232_D.buzzatii MN551234_D.koepferae_A	----- TCATTTTGATTCCAATTAAATAGACGGATTAACCTGAATAATGCTTACTTTAATAACGTGACAA 630 TCATTTTGATTCCAATTAAATAGACGGATTAACCTGAATAATGCTTACTTTAATAACGTGACAA 630
consenso_SL6 MN551232_D.buzzatii MN551234_D.koepferae_A	----- AAAATTGCACCTTAATATTCTTACTAAATAAAGATTTATTAAATTAGAGTAATTGT 700 AAAATTGCACCTTAATATTCTTACTAAATTTAGGTATAAAAATTAAATTAGAGTAATTCTTAT 700
consenso_SL6 MN551232_D.buzzatii MN551234_D.koepferae_A	----- CAGTTATAATTGGAGCAATTGGAGGTTAACCAAACATCGCTACGTAAATTAAAGCTTATTCTCAAT 770 CAGTTATAATTGGAGCAATTGGAGGTTAACCAAACATCGTAAATTAAAGCTTATTCTCAAT 770
consenso_SL6 MN551232_D.buzzatii MN551234_D.koepferae_A	----- TAATCATTTAGGTTGGATATTGAGAGCTTAATATTAAATGAATCCGCTTGATTATTATTTATTT 840 TAATCATTTAGGTTGGATATTGAGAGCTTAATATTAAATGAATCTACTTGACTATTATTTATTT 840
consenso_SL6 MN551232_D.buzzatii MN551234_D.koepferae_A	----- TATCTTTTTATCATCTATTAAATTAAATTAAATATTCAAAATTATTCATTAAATCAGTTAT 910 TATCTTTTTATCATCTTTAAATTAAATTAAATATTCAAAATTATTCATTAAATCAACTAT 910
consenso_SL6 MN551232_D.buzzatii MN551234_D.koepferae_A	----- TTGTTATATTACACAAAGAAAAATTAAATTAAATTAAATTAAATTCAAAATTATTCCTTAGGGGTTT 980 TTATTACATTACACAAAGAAAAATTAAATTAAATTAAATTCAAAATTATTCCTTAGGTGGATT 980
consenso_SL6 MN551232_D.buzzatii MN551234_D.koepferae_A	----- ACCACCATTTGGGATTTTACCAAAATGAATTGAAATCAACAACTAATTGGTAGCCAACTTTT 1050 ACCTCCATTGGGATTTTACCAAAATGAATTGAAATCAACAACTTGTAAACCAATTATTTT 1050
consenso_SL6 MN551232_D.buzzatii MN551234_D.koepferae_A	----- CAATTATAATTATTAACTATCAACTTAAATCACATTATTTCTACGAATATGTTATTCTGCTT 1120 CAATTGTTAATTAACTTAAATCAACTTAAATTACTTATTAAATTACCTACGAATATGTTATTCTGCTT 1120

MN551232_D.buzzatii 2380
MN551234_D.koepferae_A

TGTTTGAGCCCACATCATATAATTACAGTTGTATAGACGTTAGATACACGAGCTTATTTTACATCAGCAACA 2380
TGTTTGAGCCCACATCATATAATTACAGTTGTATAGACGTTAGATACACGAGCTTATTTTACATCAGCAACA 2380

consenso_SL6 2450
MN551232_D.buzzatii 2450
MN551234_D.koepferae_A

ATAATTATTGCAGTCCAACAGGAATTAATTCAGATGACTTGCTACTCTACATGGAGCTCAACTT 2450
ATGATTATTGCAGTCCAACAGGAATTAATTCAGATGACTTGCTACTCTACACGGAACTCAACTT 2450
ATAATTATTGCAGTCCAACAGGAATTAATTCAGATGACTTGCTACTCTACATGGAGCTCAACTT 2450

consenso_SL6 2520
MN551232_D.buzzatii 2520
MN551234_D.koepferae_A

CTTATTACCAAGCTATTATGAGCCTTAGGATTGTATTTCACAGTTGGAGGTTT- ACTGGGGT 2520
CTTATTACCAAGCTATTATGAGCCTTAGGATTGTATTTCACAGTTGGAGGTTTACTGGAGT 2520
CTTATTACCAAGCTATTATGAGCCTTAGGATTGTATTTCACAGTTGGAGGTTTACTGGGGT 2520

consenso_SL6 2590
MN551232_D.buzzatii 2590
MN551234_D.koepferae_A

AGITCTGCAAATTCTACATTGATATTATTTAC 2590
AGITCTGCAAATTCTACATTGATATTATTTACATGATACATATTATGATAGCTCACTTCATTAT 2590
AGITCTGCAAATTCTACATTGATATTATTTACATGATACATATTATGATAGCTCACTTCATTAT 2590

consenso_SL6 2660
MN551232_D.buzzatii 2660
MN551234_D.koepferae_A

GTTCTTCAATAGGAGCAGTATTGCTATTATAGCAGGATTCTTACATTGATACCCTTATTACAGGAT 2660
GTTCTTCTATAGGAGCAGTATTGCTATTATAGCAGGATTCTTACATTGATACCCTTATTACAGGTT 2660

consenso_SL6 2730
MN551232_D.buzzatii 2730
MN551234_D.koepferae_A

TAACCTTAAATAATAAATGATTAAGACTAAAGTCATTATCATTGTTGAAATTAACTTTTT 2730
TAACCTTAAATAATAAATGATTAAGACTAAAGTCATTATCATTGTTGAAATTAACTTTTT 2730

consenso_SL6 2800
MN551232_D.buzzatii 2800
MN551234_D.koepferae_A

CCCTCAACACTTCTAGGATTAGCAGGCATACCTCGACGATACTCAGATTACCCAGATGCTTACACAACA 2800
CCCTCAACACTTCTAGGATTAGCAGGAATACCACGACGATATTCTGATGCTTACACAACA 2800

consenso_SL6 2870
MN551232_D.buzzatii 2870
MN551234_D.koepferae_A

TGAAATGTAATTCAACAATCGGTTCATCACTCATTATTAGAATTTTTCTTTATATTATT 2870
TGAAATGTAATTCAACCATCGGTTCATCACTCATTATTAGAATTTTTCTTTATATTATTATTATTATT 2870

consenso_SL6 2940
MN551232_D.buzzatii 2940
MN551234_D.koepferae_A

GAGAAAGTTTAGTACAAACGACAAGTGAATTACCTTATTCAATTAAATTCTCAATGAATGATACCA 2940
GAGAAAGTTTAGTACCAACGACAAGTAAATTCTTATTCAATTAAATTCTCAATTGAATGATACCA 2940

consenso_SL6 3010
MN551232_D.buzzatii 3010
MN551234_D.koepferae_A

AAATACTCCTCCCGCTGAACACAGATACTCTGAATTACCTTATTAAACTAACTAATTCTAATATGGC 3010
AAATACTCCTCCGTGCCAACACAGATACTCTGAATTACCTTATTAAACTAACTAATTCTAATATGGC 3010

consenso_SL6 3080
MN551232_D.buzzatii 3080
MN551234_D.koepferae_A

AGATTAGTGCAATGGATTAAGCTCATATAAAAGTATTACTTTACTTTATTAGAAAATGTCACATG 3080
AGATTAGTGCAATGGATTAAGCTCATATAAAAGTATTACTTTATTAGAAAATGTCACATG 3080

consenso_SL6 3150
MN551232_D.buzzatii 3150
MN551234_D.koepferae_A

AGCTAATTAGGTCTCAAGATAGAGCTCCATATAAAAGTATTACTTTATTAGAAAATGTCACATGCT 3150
AGCTAATTAGGTCTCCAAGATAGAGCTCCATATAAAAGTATTACTTTATTAGAAAATGTCACATGCT 3150

consenso_SL6 3220
MN551232_D.buzzatii 3220
MN551234_D.koepferae_A

TTATTAATTTTAGTAAATAATTACTGTTTAGGATACCTTATTCATATTATTTTAATAATTATG 3220
TTATTAATTTTAGTAAATAATTACTGTTTAGGATATTAATTATTTTAACAATTATG 3220

consenso_SL6 3290
MN551232_D.buzzatii 3290
MN551234_D.koepferae_A

TAAATCGATTCTCTCCACGGGCAATTAAATTGAAATAATTGAAACTATTTCACAGCAATTATTCTTT 3290
TAAATCGATTCTCTCATGGGCAATTAAATTGAAATAATTGAAACTATTTCACAGCAATTATTCTTT 3290

consenso_SL6 3360
MN551232_D.buzzatii 3360
MN551234_D.koepferae_A

ATTATTGCACTCCCTCTTACGATTACTTTACCTTCTGATGAAATTATGAAACCTTCGGTACTCTA 3360
ATTATTGCACTCCCATCTTACGATTACTTTACCTTCTGATGAAATTATGAAACCTTCAGTACTTTA 3360

consenso_SL6 3430
MN551232_D.buzzatii 3430
MN551234_D.koepferae_A

AAAAAGAATTGGTCACCAATGATATTGATCTTATGAAATTTCAGATTAAATAATATTGAAATTGATTCTT 3430
AAAAAGAATTGGTCATCAATGATATTGATCTTATGAAATTTCAGATTAAATAATATTGAAATTGATTCTT 3430

consenso_SL6 3500
MN551232_D.buzzatii 3500
MN551234_D.koepferae_A

ATATAATCCCTACAAATGAACTAACAACTGATGGATTCGTTACTAGATGTTGATAATCGAATTGTA 3500
ATATAATCCCTACAAATGAACTAACAACTGATGGATTCGTTACTAGATGTTGATAATCGAATTGTCCT 3500

consenso_SL6 3570
MN551232_D.buzzatii 3570
MN551234_D.koepferae_A

TCCATAATAATTCTCAAATTGAAACAGCGCAGATGTAATTCTTGAACAATCCAGCT 3570
CCCTATAATAATTCTCAAATTGAAACAGCTGCAAGCTGAGATGTAATTCTTGAACAATCCGT 3570

consenso_SL6 MN551232_D.buzzatii MN551234_D.koepferae_A	----- TTAGGAGTAAAGTGTGGAACACCTGGCGTTAAACCAAACTAATTTTCATCAATGCCAGGGT TTGGGAGTAAAGTGTGGAACACCAGGACGTTAAACCAAACTAATTTTCATCAACGCCAGGAT	3640 3640 3640
consenso_SL6 MN551232_D.buzzatii MN551234_D.koepferae_A	----- TATTATGGTCAATGTTCAGAAATTGTGGGCAAATCATAGTTTACCTATTGTAATTGAAAGTGT TATTATGGTCAATGTTCAGAAATTGTGGAGCAAATCATAGTTTATGCCTATTGTAATTGAAAGAGT	3710 3710 3710
consenso_SL6 MN551232_D.buzzatii MN551234_D.koepferae_A	----- TCCAACTAATTATTTATTAAATGAATTCTAATAATTAAATTCTCATAAGATGACTGAAAGCAAGTA TCCAATTAAATTATTTATTAAATGAATTCTAATAATTAAATTCTCATAAGATGACTGAAAGCAAGTA	3780 3780 3780
consenso_SL6 MN551232_D.buzzatii MN551234_D.koepferae_A	----- CTGGTCTCTTAAACCATTAAAGTAGAAATTAGCGATTACTTCTTATG-AAAAAATTAGTTAAATTATA CTGGTCTCTTAAACCATTAAAGTAGAAATTAGCAATTACTTCTTATGAAAAAAATTAGTTAAATTATA	3850 3850 3850
consenso_SL6 MN551232_D.buzzatii MN551234_D.koepferae_A	----- ACATTAGTATGTCAAACTAAAATTAAACTATTAAATATTTTAATCCCACAAAGCACCAATTAGA ACATTAGTATGTCAAACTAAAATTAAATTAAATATTTTAATCCCACAAAGCACCAATTAGA	3920 3920 3920
consenso_SL6 MN551232_D.buzzatii MN551234_D.koepferae_A	----- TGACTTTTATTATTTTATCTTTCATAATTACTTTTATTCTGTTCTTAAATTACTCTTATC TGACTTTTATTATTTTATCTTTCATAATTACTTTTATTCTGTTCTTAAATTACTCGTAC	3990 3990 3990
consenso_SL6 MN551232_D.buzzatii MN551234_D.koepferae_A	----- TTCCCTCTCACCTAAATCAAATAATTAAAAAAATTAAATTCAATAATTGAAATGATAACA TTCCCTCTCACCTAAATCAAATGAATTAAAAAAATTAAATTCAATAATTGAAATGATAACA	4060 4060 4060
consenso_SL6 MN551232_D.buzzatii MN551234_D.koepferae_A	----- AATTATTTCTGTATTGACCCCTCAGCAATTAAATTATCTTAAATTGAAATTAGAACTTTCTG AATTATTTCTGTATTGATCCTCAGCAATTGGTTATCTTAAATTGAAATTAGAACTTTCTG	4130 4130 4130
consenso_SL6 MN551232_D.buzzatii MN551234_D.koepferae_A	----- GACTTTAATAATTCCATCTTACTGACTTACCTTCACGTTACAATTAAATTGAAATTCAATTCT GTCTTTAATAATCCCATTTACTGACTTACCTTCACGGTATAATTAAATTGAAATTCAATTCT	4200 4200 4200
consenso_SL6 MN551232_D.buzzatii MN551234_D.koepferae_A	----- TTTAACTCTCATAAGAATTAAACATTACTAGGACCCCTCAGGACATAATGGTCTACATTATTT TTCAACTCTCATAAGAATTAAACATTATTGGGCCCTCAGGTATAATGGTCTACATTCAATTTC	4270 4270 4270
consenso_SL6 MN551232_D.buzzatii MN551234_D.koepferae_A	----- ATTCTTTATTTCATTAAATTAAATTAAATTAGGACTATTCCTTATTTTACAAGAACAA ATTCTTTATTTCATTAAATTAAATTCAATTGCTATTAGGGTATTCCGTATTTTACAAGAACAA	4340 4340 4340
consenso_SL6 MN551232_D.buzzatii MN551234_D.koepferae_A	----- GTCATTTAACTTAACTCTTACATTAGCCTTACCTTATGGTATCTTAAATTGATGAATTAA GTCATTTAACTTAACTCTAACATTAGCATTACATTGATTATCATTAAATTGATGAATTAA	4410 4410 4410
consenso_SL6 MN551232_D.buzzatii MN551234_D.koepferae_A	----- CCATACACACATATTGCTCATTTAGCCTCAAGGAACCTCGCTATTAAACCTTTATAGTA TCACACACACATATTGCTCATTTAGCCTCAAGGAACCTCAGCTATTAAACCTTTATAGTA	4480 4480 4480
consenso_SL6 MN551232_D.buzzatii MN551234_D.koepferae_A	----- TGTATCGAAACGATTAGAAATGTAATTGCTCAGGAACCTTAGCAGTTCGATTAACAGCTAATATAATTG TGTATTGAAACTATTAGAAATGTAATTGCCCCAGGAACCTTAGCAGTTCGATTAACAGCTAATATAATTG	4550 4550 4550
consenso_SL6 MN551232_D.buzzatii MN551234_D.koepferae_A	----- ACTTTACTAGGAAACACCGGCCCTCTATATCATATATTCTAGTAACATT CAGGTCACTATTGTTATTAACTTACTGGAAATACAGGCCCTCTATATCATATATTGTTAGTACATT CAGGTCACTATTGTTATTAACTTACTAGGAAACACCGGCCCTCTATATCATATATTCTAGTAACATT	4620 4620 4620
consenso_SL6 MN551232_D.buzzatii MN551234_D.koepferae_A	----- ATTAATTGGACAAATTGCTCTTTAGTTAGAATCAGCTGTTGCAATAATTCAATTCTTATGTT ATTAATTGGACAAATTGCCCTTTAGTTAGAATCAGCTGTTGCAATAATTCAATTCTTATGTT ATTAATTGGACAAATTGCTCTTTAGTTAGAATCAGCTGTTGCAATAATTCAATTCTTATGTT	4690 4690 4690
consenso_SL6 MN551232_D.buzzatii MN551234_D.koepferae_A	----- GTTCTAAGAACTTATRACTCTAGAGAAGTTAAATTAAATTCAATAATTGCTACACATTCAAAT GTTTAAGAAACTTATRACTCTAGAGAAGTTAAATTCAAAATTAAATTCAATAATTGCTACACATTCAAAT GTTCTAAGAAACTTATRACTCTAGAGAAGTTAAATTAAATTCAATAATTGCTACACATTCAAAT	4760 4760 4760
consenso_SL6 MN551232_D.buzzatii MN551234_D.koepferae_A	CATCCATTCTCATCTGTTGATTACAGACCTTGACCTTAAACAGGAGCAATCGGTCTATAACAACTGTT CACCCATTCTCATCTGTTGATTACAGACCATGACCTTAAACAGGAGCAATTGGAGCAATAACAACTGTT	4830 4830 4830

MN551234_D.koepferae_A	CATC CATT CATCTGTT GATTACAGACCTTGACCTTAACAGGAGCAATCGGTGCTATAACA ACTGTTT	4830
consenso_SL6 MN551232_D.buzzatii MN551234_D.koepferae_A	CAGGTATAGTTAAATGATTTCATCAATATGATACTT TATTTTACTAGGTAATATTACAA ATTCT CAGGTATAGTTAAATGATTCCATCAATATGACACATCCTTATTTTATAGGTAATATTACAA ATTCT CAGGTATAGTTAAATGATTTCATCAATATGATACTT TATTTTACTAGGTAATATTACAA ATTCT	4900 4900 4900
consenso_SL6 MN551232_D.buzzatii MN551234_D.koepferae_A	TACTGTATACCAATGATGACGAGATGTATCTCGAGAAGGTACTTATCAAGGTTACATACTTACGCAGTT TACTGTATATCAATGATGACGAGATGTATCTCGAGAAGGTACTTATCAAGGTTACATACTTACGCAGTT TACTGTATACCAATGATGACGAGATGTATCTCGAGAAGGTACTTATCAAGGTTACATACTTACGCAGTT	4970 4970 4970
consenso_SL6 MN551232_D.buzzatii MN551234_D.koepferae_A	ACTATTGGTTTACGATGAGGAATAATT TATTATTTATCAGAAGTCTATT TTTGTAAGTTTTTT ACTATCGGTTTACGATGAGGAATAATT TATTATTTATCAGAAGTCTATT TTTGTAAGTTTTTT ACTATTGGTTTACGATGAGGAATAATT TATTATTTATCAGAAGTCTATT TTTGTAAGTTTTTT	5040 5040 5040
consenso_SL6 MN551232_D.buzzatii MN551234_D.koepferae_A	GAGCATTTTCACAGAAGATTATC CAGCTATTGAATTAGGAGCATCATGACCTCCTT TAGGAATTGT GAGCATTTTCACAGAAGATTATC CAGCTATTGAATTAGGAGCATCATGACCCCTT TAGGAATTGT GAGCATTTTCACAGAAGATTATC CAGCTATTGAATTAGGAGCATCATGACCTCCTT TAGGAATTGT	5110 5110 5110
consenso_SL6 MN551232_D.buzzatii MN551234_D.koepferae_A	TTCATTAATCCTTTCAAATC CTTTATTAAATACTGCTATT TATTAAACATCCGGAGTAACTGTTACA TTCATTAATCCTTTCAAATC CTTTATTAAACACTGCTATT TATTAAACATCAGGAGTAACTGTTACA TTCATTAATCCTTTCAAATC CTTTATTAAACACTGCTATT TATTAAACATCCGGAGTAACTGTTACA	5180 5180 5180
consenso_SL6 MN551232_D.buzzatii MN551234_D.koepferae_A	TGAGCTCATCATAGTTAATGGAAGGAATCATTCCC AACTACACAAGGTTATT TTTACTGTTCTT TGAGCCCATCATAGTTAATGGAAGGAATCATTCCC AACTACACAAGGTTATT TTTACTGTTCTT TGAGCTCATCATAGTTAATGGAAGGAATCATTCCC AACTACACAAGGTTATT TTTACTGTTCTT	5250 5250 5250
consenso_SL6 MN551232_D.buzzatii MN551234_D.koepferae_A	TAGGAATT TATT TACTATT TACAGCATATGAATAT TGAAGCTCCTT TACAATCGCAGATTCTGT TAGGAATT TATT TACTATT CACAGCTTATGAATAT TGAAGCTCCTT TACAATT CGCAGATTCTGT TAGGAATT TATT TACTATT TACAGCATATGAATAT TGAAGCTCCTT TACAATCGCAGATTCTGT	5320 5320 5320
consenso_SL6 MN551232_D.buzzatii MN551234_D.koepferae_A	TTATGGGTCAACTTTTTTATAGCACACAGGATTTCATGGAATTCTATGTTTAATGGAACA A CT T T TTATGGATCAACTTTTTTATAGCACACAGGATTTCATGGAATTCTATGTTTAATGGAACA A CTTTCT TTATGGGTCAACTTTTTTATAGCACACAGGATTTCATGGAATTCTATGTTTAATGGAACA A CTTTCT	5390 5390 5390
consenso_SL6 MN551232_D.buzzatii MN551234_D.koepferae_A	C TAACAA T CGTT A TATGTAATAATCATTTCTAAGAACATCACCATTGGATTGAAGCAG A T TAATCTGTTACTACGACACTTAATAATCATTCTAAAAATCATCTTTGGATTGAAGCAGCAG T TAATCTGTTACTACGACACTTAATAATCATTCTAAAGAACATCACCATTGGATTGAAGCAGCAG	5460 5460 5460
consenso_SL6 MN551232_D.buzzatii MN551234_D.koepferae_A	CATGATATTGACATT TGTTGATGTTGATTATT TATAGTAACAAATTACTGATGAG A TTAAA CATGATATTGACATT TGTTGATGTTGATTATT TATAGTAACAAATTACTGATGAGGAGTTA CATGATATTGACATT TGTTGATGTTGATTATT TATAGTAACAAATTACTGATGAGGAGTTA	5530 5530 5530
consenso_SL6 MN551232_D.buzzatii MN551234_D.koepferae_A	AAA A TTATTAAATCTATAGTATAAAAGTATTTGACTTCAATCATAAGGCTATTAAATAATAGT AAA A TTATTAAATCTATAGTATAAAAGTATTTGACTTCAATCATAAGGCTATTAAATAATAGT AAA A TTATTAAATCTATAGTATAAAAGTATTTGACTTCAATCATAAGGCTATTAAATAATAGT	5600 5600 5600
consenso_SL6 MN551232_D.buzzatii MN551234_D.koepferae_A	GTAGATAATT TTTCAATTACTCTAACGCTTAATTATAACAAATTCTATTATTGTATAATT GTAGATAATT TTTCAATTACTCTAACGCTTAATTATAACAAATTCTATTATTGTATAATT ATAGATAATT TTTCAATTACTCTAACGCTTAATTATAACAAATTCTATTATTGTATAATT	5670 5670 5670
consenso_SL6 MN551232_D.buzzatii MN551234_D.koepferae_A	GCTTCATT TATCAAAAAAAACTTAGTTGACCGGGAAAAAGTTCTCCTTTGAATGTGGATTGATC GCTTCATT TATCAAAAAAAACTTAGTTGACCGAGAAAAAGTTCACCTTGTGAATGTGGATTGATC GCTTCATT TATCAAAAAAAACTTAGTTGACCGGGAAAAAGTTCTCCTTTGAATGTGGATTGATC	5740 5740 5740
consenso_SL6 MN551232_D.buzzatii MN551234_D.koepferae_A	CTAAATCTTCACTACGCTTACCTTTCTTGTGATTTCTTAATCTTCTAATTACTATTATT TTAATT CTAAATCTTCACTACGCTTACCTTTCTTGTGATTTCTTAATCTTCTAATTACTATTATT TTAATT CTAAATCTTCACTACGCTTACCTTTCTTGTGATTTCTTAATCTTCTAATTACTATTATT TTAATT	5810 5810 5810
consenso_SL6 MN551232_D.buzzatii MN551234_D.koepferae_A	TGTAGAAATTGCCTTAATT TACCAAATTATT TTTAAATT TCAAAATAATAATTGGACATCA TGTAGAAATTGCCTTAATT TACCAAATTATT TTTAAATTCTCAAATAATTGGACATCA TGTAGAAATTGCCTTAATT TACCAAATTATT TTTAAATT TCAAAATAATAATTGGACATCA	5880 5880 5880
consenso_SL6 MN551232_D.buzzatii MN551234_D.koepferae_A	ACATCAATT TATT TATT T AAATTACTACGTTGAGATTACATTGAA----- ACATCAATT TATT TATT T AAATTACTACGTTGAGATTACCATGAA T GAATGAAATCAAGGTATATTAAATT ACATCAATT TATT TATT T AAATTACTACGTTGAGATTACCATGAA T GAATGAAATCAAGGAATATTAAATT	5950 5950 5950
consenso_SL6 MN551232_D.buzzatii MN551234_D.koepferae_A	----- GATCAAATTAAATAAATAGGGTTGAGTTAAATATAACATTGATGTCATTGCAAAAGTATTGAATTAC GATCAAATTAAATAAATAGGGTTGAGTTAAATATAACATTGATGTCATTGCAAAAGTATTGAATTAC	6020 6020 6020

***** * ***** * ***** * ***** * ***** * ***** * ***** * *****

consenso_SL6
MN551232_D.buzzatii
MN551234_D.koepferae_A

***** * ***** * ***** * ***** * ***** * ***** * ***** * *****

AAACCTAACTGACTTAATGTTGATAACGCAATAATTTCATAAATCAAATTCAAAATTAGCCCTAAAC 7350
AACCTAAITGACTTAATGTCGATAACGCAATAATTTCATAAATCAAATTCAAAATTAGCCCTAAAC 7350
AAACCTAACTGACTTAATGTTGATAACGCAATAATTTCATAAATCAAATTCAAAATTAGCCCTAAAC 7350
***** * ***** * ***** * ***** * ***** * ***** * ***** * *****

consenso_SL6
MN551232_D.buzzatii
MN551234_D.koepferae_A

***** * ***** * ***** * ***** * ***** * ***** * ***** * *****

CTGCTATAAATATTGTTAACCTGATAATAAAGTAAAAGTAAAACCTGCCTATTGATGAATTCTTAATAAAAT 7420
CTGCTATAAATATTGTTAACCTGATAATAAAGTAAAAGTAAAACCTGCCCTATTGATGAATTCTCAATAAAAT 7420
CTGCTATAAATATTGTTAACCTGATAATAAAGTAAAAGTAAAACCTGCCTATTGATGAATTCTTAATAAAAT 7420
***** * ***** * ***** * ***** * ***** * ***** * ***** * *****

consenso_SL6
MN551232_D.buzzatii
MN551234_D.koepferae_A

***** * ***** * ***** * ***** * ***** * ***** * ***** * *****

ATTAACCGGGATAATAAATAAACTCCTGCAGTTACCAA **GTTG** **ATGAATGAACAAAGCAGAACAGG** 7490
ATTAACAC-GATTAATAAAATAACCTCCAGCAGTTACCAAAGTAGATGAATGAACCAAGCAGAACAGG 7490
ATTAACAC-GGATTAATAAAATAACCTCCTGCAGTTACCAAAGTAGATGAATGAACAAAGCAGAACAGG 7490
***** * * ***** * ***** * ***** * ***** * ***** * *****

consenso_SL6
MN551232_D.buzzatii
MN551234_D.koepferae_A

***** * ***** * ***** * ***** * ***** * ***** * ***** * *****

AGTAGGGCCAGCATGCTCAGGAACTCCTGCAGTTACCAAAGTAGATGAATGAACAAAGCAGAACAGG 7560
AGTAGGGCCAGCATGCTCAGGAACTCCTGCAGTTACCAAAGTAGATGAATGAATGAACAAAGCAGAACAGG 7560
AGTAGGGCCAGCATGCTCAGGAACTCCTGCAGTTACCAAAGTAGATGAATGAACAAAGCAGAACAGG 7560
***** * * ***** * ***** * ***** * ***** * ***** * *****

consenso_SL6
MN551232_D.buzzatii
MN551234_D.koepferae_A

***** * ***** * ***** * ***** * ***** * ***** * ***** * *****

AATATAACTAATGACCAATAATTATTATTGAAATTCTACAAATTGCTTGTATAAATTTAAATAAAATATAA 7630
AATATAACTAACGACCAATAATTATTATTGAAATTCTACAAATTGCTTGTATAATTTC-TAAATAAAATATAA 7630
AATATAACTAATGACCAATAATTATTATTGAAATTCTACAAATTGCTTGTATAATTTC-TAAATAAAATATAA 7630
***** * ***** * ***** * ***** * ***** * ***** * ***** * *****

consenso_SL6
MN551232_D.buzzatii
MN551234_D.koepferae_A

***** * ***** * ***** * ***** * ***** * ***** * ***** * *****

TTTCATCTTCCATAATTAAATTCAAGCAATTGCTAACAACTGCTACATCACCAATTGATTGATA 7700
TTTCATCCCCATAATTAAATTCAAGCAATTGCTAACAACTGCTACATCACCAATTGATTGATA 7700
TTTCATCTTCCATAATTAAATTCAAGCAATTGCTAACAACTGCTACATCACATCACCAATTGATTTGATA 7700
***** * ***** * ***** * ***** * ***** * ***** * ***** * *****

consenso_SL6
MN551232_D.buzzatii
MN551234_D.koepferae_A

***** * ***** * ***** * ***** * ***** * ***** * ***** * *****

AGCAGTTAATATCCCAGCATTATGATTAAATTGAAATAAATTACTAAACAATAAGAAACTAA 7770
AGCAGTTAATATCCCAGCATTATAAGATTAAATTGAAATAAATTACTAAACAATAAGAAACTAA 7770
AGCAGTTAATATCCCAGCATTATAAGATTAAATTGAAATAAATTACTAAACAATAAGAAACTAA 7770
***** * ***** * ***** * ***** * ***** * ***** * ***** * *****

consenso_SL6
MN551232_D.buzzatii
MN551234_D.koepferae_A

***** * ***** * ***** * ***** * ***** * ***** * ***** * *****

TCCTAACCCATCTCATCCAAGTAAATTCTACTAAATTGGCTTAATAATTAAATTATTGATATA 7840
TCCTAACCATCTCATCCAAGTAAATTCTACTAAATTGGCTTAATAATTAAATTATTGATATA 7840
TCCTAACCCATCTCATCCAAGTAAATTCTACTAAATTGGCTTAATAATTAAATTATTGATATA 7840
***** * ***** * ***** * ***** * ***** * ***** * ***** * *****

consenso_SL6
MN551232_D.buzzatii
MN551234_D.koepferae_A

***** * ***** * ***** * ***** * ***** * ***** * ***** * *****

ACAAATTTAAACTAATATAAAATCGATTAAATTAAATACCTCTTATATATTCTTTCTGTAGT 7910
ACAAATTTAAACTAATATAAAATCGATTAAATTAACTGCTATTCTTATGTATTCTTTCTGTAGT 7910
ACAAATTTAAACTAATATAAAATCGATTAAATTAACTGCTATTCTTATGTATTCTTTCTGTAGT 7910
***** * ***** * ***** * ***** * ***** * ***** * ***** * *****

consenso_SL6
MN551232_D.buzzatii
MN551234_D.koepferae_A

***** * ***** * ***** * ***** * ***** * ***** * ***** * *****

AAATTACTAAAGAAGCAATCTAAACAAAAGATAAAACAAACTTATTCAATCAAATAAAAGT 7980
AAATTACTAAAGAAGCAATTAAACAAAAGATAAAACAACTTATTCAATCAAATAAAAGT 7980
AAATTACTAAAGAAGCAATTAAACAAAAGATAAAACAAACTTATTCAATCAAATAAAAGT 7980
***** * ***** * ***** * ***** * ***** * ***** * ***** * *****

consenso_SL6
MN551232_D.buzzatii
MN551234_D.koepferae_A

***** * ***** * ***** * ***** * ***** * ***** * ***** * *****

TATAACAAAGAAATTGAAATTGATACAACCTCTCACTAAATAAAATAAAACTATATCATTAAATAA 8050
TATAACAAAGAAATTGAAATTGAAACTACCTCTCACTAAATAAAATAAAATTATATCATTAAATAA 8050
TATAACAAAGAAATTGAAATTGATACAACCTCTCACTAAATAAAATAAAACTATATCATTAAATAA 8050
***** * * ***** * ***** * ***** * ***** * ***** * *****

consenso_SL6
MN551232_D.buzzatii
MN551234_D.koepferae_A

***** * ***** * ***** * ***** * ***** * ***** * ***** * *****

AAATTATCTTTAAAAAAATACATCTAACTAAAATTGATAACAACTTAACTCTAAATTCTACAAATT 8120
AAATTAA-ATCTTTAAAAAAACATCTAACTTAACTTAAACAACTTAACTCTACAAATT 8120
AAATTAA-ATCTTTAAAAAAACATCTAACTTAACTTAAACAACTTAACTCTACAAATT 8120
***** * * * ***** * ***** * ***** * ***** * ***** * *****

consenso_SL6
MN551232_D.buzzatii
MN551234_D.koepferae_A

***** * ***** * ***** * ***** * ***** * ***** * ***** * *****

GATAATATTTCATGATCTAAAATGATTAACACTCATCTACAAACACCACAAATTAGTATTGTTAAAC 8190
GATAATATTTCAGATCTAAAATGATTAACACTCATCTACAAACACCACAAATTAGTATTGTTAAAC 8190
GATAATATTTCATGATCTAAAATGATTAACACTCATCTACAAACACCACAAATTAGTATTGTTAAAC 8190
***** * ***** * ***** * ***** * ***** * ***** * ***** * *****

consenso_SL6
MN551232_D.buzzatii
MN551234_D.koepferae_A

***** * ***** * ***** * ***** * ***** * ***** * ***** * *****

TATTTAAATATAATCATAATAACATATATCTCCCTCAAATAAAATTAAAGGTAATCAATGTA 8260
TATTTAAATATAATCATAATAACACATATCACCTTAAATAAAATTAAAGGTAATCAATGTA 8260
TATTTAAATATAATCATAATAACATATCTCCCTCAAATAAAATTAAAGGTAATCAATGTA 8260
***** * ***** * ***** * ***** * ***** * ***** * ***** * *****

consenso_SL6
MN551232_D.buzzatii
MN551234_D.koepferae_A

***** * ***** * ***** * ***** * ***** * ***** * ***** * *****

TAGTAAATAAAATTCACGAATTACCAATTCTAACTCCTGAAAAATTTCATGT 8330
TAATAACAAACAAATTCACGAATTTCACCATCTCAAAGCATAAACCCGGAAAAATTTCATGT 8330
TAGTAAATAAAATTCACGAATTTCACCATCTCAAAGCATAAACCTGAAAAATTTCATGT 8330
***** * * ***** * ***** * ***** * ***** * ***** * *****

consenso_SL6
MN551232_D.buzzatii
MN551234_D.koepferae_A

***** * ***** * ***** * ***** * ***** * ***** * ***** * *****

TGTCTAAAAGAATAAGATAACAAAGTATAAGCCGTCTAAAAATGATAACAAAGATAATATAATCATGG 8400
TGTCTAAAAGAATAAGATAACAGTATAAGGCTGCTCTAAAAATGATAAAAGACACATAATTG 8400
TGTCTAAAAGAATAAGATAACAGTATAAGCCGTCTCTAAAAATGATAACAAAGATAATATAATCATGG 8400
***** * * ***** * ***** * ***** * ***** * ***** * *****

consenso_SL6
MN551232_D.buzzatii
MN551234_D.koepferae_A

***** * ***** * ***** * ***** * ***** * ***** * ***** * *****

AAATTATGACCAAGAACAAATTCTATTAAATAAAGAAATTTCACCTAATAACCTAAACGTTAGGAGGAGC 8470
AAACTCATGATCAAGAACAAATTCTATTAAATAAAGAAATTTCACCTAACAATTAAATGTTAGGAGGAGC 8470
AAATTATGACCAAGAACAAATTCTATTAAATAAAGAAATTTCACCTAATAACCTAAACGTTAGGAGGAGC 8470
***** * ***** * ***** * ***** * ***** * ***** * ***** * *****

consenso_SL6

AGCTATATTAGCAGAACTTAATAAAATCACCATAACGCTATAGCTGGCATAAAATTAAATCCCTTA 8540

consenso_SL6
 MN551232_D.buzzatii
 MN551234_D.koepferae_A

TAATAATATTGAAAGTAAATGCTTACGATTAGAACAAAACAAAATAACCAAAAATAAATAAATTATT 9800
 TAATAATATTGAAAGTAAATGTTACGATTGAAACAAAACAAAATAACCAAAAATAAATAAATTATT 9800
 TAATAATATTGAAAGTAAATGCTTACGATTAGAACAAAACAAAATAACCAAAAATAAATAAATTATT 9800

consenso_SL6
 MN551232_D.buzzatii
 MN551234_D.koepferae_A

GGCAATCTCAATACAAAATTATACTTACGGTTAATAGTTAATAGTTAATAAAACATTGGCTTGTAATCA 9870
 GGCAATCTCAATATAAAATTATACTTACGGTTAATAGTTAATAAAACATTGGCTTGTAATCA 9870
 GGCAATCTCAATATAAAATTATACTTACGGTTAATAGTTAATAAAACATTGGCTTGTAATCA 9870

consenso_SL6
 MN551232_D.buzzatii
 MN551234_D.koepferae_A

AAAATAAGA--ATTTTCTTTAAAACCTCAAGAAAAAGATGTCTTTCATTAATCCCCAAAATTAA 9940
 AAAATAAGA--TTTTCTTTAAAACCTCAAGAAAAAGATGTCTTTCATTAATCCCCAAAATTAA 9940
 AAAATAAGA--TTTTCTTTAAAACCTCAAGAAAAAGATGTCTTTCATTAATCCCCAAAATTAA 9940

consenso_SL6
 MN551232_D.buzzatii
 MN551234_D.koepferae_A

TATTTAATATAAACTTTCTG-AATTCTCAATAATTCTTATTCTATTAAATTTTTTAACATCAAT 10010
 TATTTAATATAAACTTTCTG-AATTCTCAATAATTCTTATTCTATTAAATTTTTTAACATCAAT 10010
 TATTTTATTATAAACTTCTG-AATTCTCAATAATTCTTATTCTATTAAATTTTTTAACATCAAT 10010

consenso_SL6
 MN551232_D.buzzatii
 MN551234_D.koepferae_A

RTTTTATATAATATTCAACCCATTAGCAATTAGGTTAACATTAAATTCAACAAATTAAATTGT 10080
 TATTTTATATAATATTCAACCCATTAGCAATTAGGTTAACATTAAATTCAACAAATTAAATTGT 10080
 TATTTTATATAATATAATTCAACCCATTAGCAATTAGGTTAACACTATTAAATTCAACAAATTAAATTGT 10080

consenso_SL6
 MN551232_D.buzzatii
 MN551234_D.koepferae_A

TTAATCTCTGCCTAATAACAAAACCTTTGATTCTTATATTAAATTAAATTAAATTGGGGGTA 10150
 TTAATTCTGGTTAATAACAAAACCTTTGATTCTTATATTAAATTAAATTGGGGGTA 10150
 TTAATCTCTGCCTAATAACAAAACCTTTGATTCTTATATTAAATTAAATTGGGGGTA 10150

consenso_SL6
 MN551232_D.buzzatii
 MN551234_D.koepferae_A

TACTAGTTTATTATTTATGTTACATCTTAGCTCTAATGAAATTTAACCTATCATTAAATTAAAC 10220
 TATTAGTTTATTATTTATGTTACATCTTAGCTCTAATGAAATTTAACCTATCATTAAATTAAAC 10220
 TACTAGTTTATTATTTATGTTACATCTTAGCTCTAATGAAATTTAACCTATCATTAAATTAAAC 10220

consenso_SL6
 MN551232_D.buzzatii
 MN551234_D.koepferae_A

ATAATTGTTTATTAAATTCAAGAATTAAATTAAATTAAATTAAATTAAATTAAATTAAATTGT 10290
 GATAATTGTTTATTAAATTCAAGAATTAAATTAAATTAAATTAAATTAAATTAAATTAAATTGT 10290
 ATAATTGTTTATTAAATTCAAGAATTAAATTAAATTAAATTAAATTAAATTAAATTAAATTGT 10290

consenso_SL6
 MN551232_D.buzzatii
 MN551234_D.koepferae_A

TTTTTTAATTAATGAAATCAAATATTCAATATATTTCATATTTCAGAAAATTCTTAT 10360
 TTTTTTAATTAATGAAATCAAATATTCAATATATTTCATATTTCAGAAAATTCTTAT 10360
 TTTTTTAATTAATGAAATCAAATATTCAATATATTTCATATTTCAGAAAATTCTTAT 10360

consenso_SL6
 MN551232_D.buzzatii
 MN551234_D.koepferae_A

CTCTTAATAAAATTATAATTTCACAAACATTGTAACAATTCTCTATAAAATTATCTCTAAATTAC 10430
 CTCTTAATAAAATTATAATTTCACAAACATTGTAACAATTCTCTATAAAATTATCTCTAAATTAC 10430
 CTCTTAATAAAATTATAATTTCACAAACATTGTAACAATTCTCTATAAAATTATCTCTAAATTAC 10430

consenso_SL6
 MN551232_D.buzzatii
 MN551234_D.koepferae_A

ATTAATTGTTATTGTAATAATTCAAAATTCTTACGACCTCTCGACTTATAATTGAATAAAC 10500
 ATTAATTGTTATTGTAATAATTCAAAATTCTTACGACCTCTCGACTTATAATTGAATAAAC 10500
 ATTAATTGTTATTGTAATAATTCAAAATTCTTACGACCTCTCGACTTATAATTGAATAAAC 10500

consenso_SL6
 MN551232_D.buzzatii
 MN551234_D.koepferae_A

CTTTACGAACCTCACATCCACTCTTAAATTGCTAATAATGCTTACGTTGATTACCTGCACCCTTAA 10570
 CTTTACGAACCTCACATCCACTCTTAAATTGCTAATAATGCTTACGTTGATTACCTGCACCCTTAA 10570
 CTTTACGAACCTCACATCCACTCTTAAATTGCTAATAATGCTTACGTTGATTACCTGCACCCTTAA 10570

consenso_SL6
 MN551232_D.buzzatii
 MN551234_D.koepferae_A

TATTCTCTGATGAAATTGGATCTTTAGGATTAT-----TTATCCAATTAAACTGGGATA 10640
 TATTCTCTGATGAAATTGGATCTTTAGGATTATGTTAAATTATCCAATTAAACGGGTTA 10640
 TATTCTCTGATGAAATTGGATCTCTTAGGATTATGTTAAATTATCCAATTAAACTGGGATA 10640

consenso_SL6
 MN551232_D.buzzatii
 MN551234_D.koepferae_A

TTTTAGCTACACATACAGCTGATATTAAATAGCTTACAGGTTAACATATTGCCGCGATG 10710
 TTTTAGCTACACATACAGCTGATATTAAATAGCTTACAGGTTAACATATTGCCGCGATG 10710
 TTTTAGCTACACATACAGCTGATATTAAATAGCTTACAGGTTAACATATTGCCGCGATG 10710

consenso_SL6
 MN551232_D.buzzatii
 MN551234_D.koepferae_A

TAAATATGGTGTATTACGAAACATACATGCTAACGGAGCTC---TTTTTTATTGTATTATT 10780
 TAAATATGGTGTATTACGAAACATACGCTAACGGAGCTCTTTTTTTATTGTATTATT 10780
 TAAATATGGTGTATTACGAAACATACATGCTAACGGAGCTCTTTTTTTATTGTATTATT 10780

consenso_SL6
 MN551232_D.buzzatii
 MN551234_D.koepferae_A

ACATCTAGGTGAGGAATTATTACGGATCATATTCTACGGCACTTGTATTGGAGTTATTAC 10850
 ACATCTAGGTGAGGAATTATTACGGATCATATTCTACGGCACTTGTATTGGAGTTATTAC 10850
 ACATCTAGGTGAGGAATTATTACGGATCATATTCTACGGCACTTGTATTGGAGTTATTAC 10850

consenso_SL6
 MN551232_D.buzzatii
 MN551234_D.koepferae_A

TTATTCTTAGTAATAGGAACCTGCTTTAGGATAACGTTTACCACTGAGGTCATAATTCTTCTGAGGAG 10920
 CTATTCTTAGTAATAGGAACCTGCTTTAGGATAACGTTTACCATGAGGTCATAATTCTTCTGAGGAG 10920
 TTATTCTTAGTAATAGGAACCTGCTTTAGGATACTGAGGTCATAATTCTTCTGAGGAG 10920

consenso_SL6
 MN551232_D.buzzatii
 MN551234_D.koepferae_A

CAACAGTAATTACTAATCTTTATCAGCTCTCCCTATTAGGATACTGAGGTCATAATTCTTCTGAGGAG 10990
 CAACAGTAATTACTAACCTTATCAGCTGCTCTATTAGGATACTGAGGTCATAATTCTTCTGAGGAG 10990

MN551234_D.koepferae_A	CAACAGTAATTACTAATCTTTATCAGCTGTCCTTATTAGGAATTGATTTAGTACAATGAATTGAGG 10990 *****
consenso_SL6 MN551232_D.buzzatii MN551234_D.koepferae_A	AGGATTGCTGTTGATAACGCAACTTAACTCGATTTCACATTTACATTTCATTTATTCACCTTTATTGTT 11060 AGGCTTGCTGTTGATAACGCAACTTAACTCGATTTCACATTTCATTTATTCACCTTTATTGTT 11060 AGGGTTGCTGTTGATAACGCAACTTAACTCGATTTCACATTTCATTTATTCACCTTTATTGTT 11060 *****
consenso_SL6 MN551232_D.buzzatii MN551234_D.koepferae_A	TAGCTATAACTATAATTCAATTATTACCTTACACCAACAGGTCAAATAACCTATTGTTAAACT 11130 TAGCTATAACTATAATTCAATTATTACCTTACACCAAACGGTTCAAATAACCCATTGGTTAAACT 11130 TAGCTATAACTATAATTCAATTATTACCTTACACCAAACGGTTCAAATAACCCATTGGTTAAACT 11130 *****
consenso_SL6 MN551232_D.buzzatii MN551234_D.koepferae_A	CATAGTACATAAAATCCTTTCACCTTACACCAAACGGTTCAAATAACCCATTGGTTAAACT 11200 CAAATATAGATAAAATCCCTTCACCTTACACCAAACGGTTCAAATAACCCATTGGTTAAACT 11200 CAAATGTTGATAAAATCCCTTCACCGTACTTACATACAAAGATATTGAGGATTTATAAT 11200 *****
consenso_SL6 MN551232_D.buzzatii MN551234_D.koepferae_A	----- 11270 TTTGCTTAATTCTTTAATTCAACCCAAATTATTAGGTGACCCGATAATTTCATCCCGCT 11270 TTTGCTTAATTCTTTAATTCAACCCAAATTATTAGGTGACCCGATAATTTCATCCCGCT 11270
consenso_SL6 MN551232_D.buzzatii MN551234_D.koepferae_A	----- 11340 AACCTTAGTAACACCAGTCATATTCAACCTGAATGATATTCTTATTGCATACGAATCTACGAT 11340 AATCCTTAGTAACCCAGTCATACCAACCTGAATGATACTCTTATTGCATACGAATCTACGAT 11340
consenso_SL6 MN551232_D.buzzatii MN551234_D.koepferae_A	----- 11410 CAATCCAATAAAATTAGGAGGAGTAATTGCTTACTTCTATTGCAATTAAATCTGCCTT 11410 CTATCCCTAAATAAAATTAGGAGGAGTAATTGCTTACTTCTATTGCAATTCAATAATTACCTT 11410
consenso_SL6 MN551232_D.buzzatii MN551234_D.koepferae_A	----- 11480 TTACCATTAAGAAAATTCCGAGGAATTCAATTTCATCAATCAAATTAAATTGTAATTAGTA 11480 TTATCATTAAAGAAAATTCCGAGGAATTCAATTACCAATCAATCAAATTAAATTCTGAATTAGTA 11480
consenso_SL6 MN551232_D.buzzatii MN551234_D.koepferae_A	----- 11550 GTTACAGTAATTAACTTGAATTGGAGCACGACAGTTGAAGAACCTTATGTTCACTGGTCAA 11550 GTTACAGTAATTAACTTGAATTGGAGCACGACAGTTGAAGAACCTTATGTTCAATTGGTCAA 11550
consenso_SL6 MN551232_D.buzzatii MN551234_D.koepferae_A	----- 11620 TTTAACAGTAATTATTATTATTAATTCTAATTAAACCCAAATTAAATAAATGAGATAATTATT 11620 TTTAACTGTAATTATTATTATTAATTCTAATTAAACCCAAATTAAATAAATGAGATAATTATT 11620
consenso_SL6 MN551232_D.buzzatii MN551234_D.koepferae_A	----- 11690 AAATAAGTTATGAGCTGATAAGCATATGTTGAAAACATAAGATAGGAATTTCATTAA 11690 AAATAAGTTATGAGCTGATAAGCATATGTTGAAAACATAAGATAGGAATTTCATTAA 11690
consenso_SL6 MN551232_D.buzzatii MN551234_D.koepferae_A	----- 11760 CTTACTAAAAATAATTCTAATAAAAGAAAATAAAATTAAACCAATAAAACATTAAATA 11760 CTTACTAAAAATAATTCTAATAAAAGAAAATAAAATTAAACCAATAAAACATTAAATA 11760
consenso_SL6 MN551232_D.buzzatii MN551234_D.koepferae_A	----- 11830 ATTTAAGAAAACGATAAAAACATTTCAGCTAAACATTAATTCTACATAACGAAAACGAGGTAA 11830 ATTTAAGAGAAAGAAAACATTCTACGCTAAACATTAATTCTACATAACGAAAACGAGGTAA 11830
consenso_SL6 MN551232_D.buzzatii MN551234_D.koepferae_A	----- 11900 GTCCACGCACCAAATAAAAGAAAATTAAATTAAATTAAATAAAATAAAATTAAACAT 11900 GTACCTCGCAGCTCAAATAAAAGAAAATTAAATTAAATAAAATAAAATTAAACAT 11900
consenso_SL6 MN551232_D.buzzatii MN551234_D.koepferae_A	----- 11970 CACACCTAAAAATTACACAAAATAATACTTAAATAAAATTCTGCATACTCAGCTAAAAAAT 11970 CACACCTAAAAATTACACAAAATAATACTTAAATAAAATTCTGCAGCTAAAAAAT 11970
consenso_SL6 MN551232_D.buzzatii MN551234_D.koepferae_A	----- 12040 TAAAGCAAATCCTCTCTTACTCTACATTAAACCCAGAAAACATAATTCCGATTCCCCCTCGGAAA 12040 TAAAGCAAACCCCTCTCTTACTCTACATTAAACCCAGAAAACATAATTCTGATTCTCCCTCGGAAA 12040
consenso_SL6 MN551232_D.buzzatii MN551234_D.koepferae_A	----- 12110 TCAAAAGGAGTACGATTAGTTCTGCCAAGAAAATAGTAACTCAAACCTATTGGAATAAAATAA 12110 TCAAAAGGAGTACGATTAGTTCTGCTAATGAAATAGTAACTCAAACCTATCGGAAATAAAATAA 12110
consenso_SL6 MN551232_D.buzzatii MN551234_D.koepferae_A	----- 12180 TTAAAATCAGATAAAATTGATAATAAAACAAAAATTGTAACCCCAATTAAAAAAATAA 12180 CTAAAATCAAATAAAATTGATAATAAAAGTATAAAATTGTAACCTCAATTAAAAAAATAA 12180

consenso_SL6 MN551232_D.buzzatii MN551234_D.koepferae_A	----- AGATAATAAAATTAAGCTAATCTAACCTCATAAGAAATAGTTGAGCCACAGCACGTAAACCCCTAAT TGATAATAAAATTAAGCTAATCTAACCTCATAAGAAATAGTTGAGCTACAGCCGTAACCCCTAAT	12250 12250 12250
consenso_SL6 MN551232_D.buzzatii MN551234_D.koepferae_A	----- AAAGCATAATTGATTAGATGATCAACCTGCAACTATACTGTGTAACCCCTAATCTAGTACAACATA AAAGCATAATTGATTGAGATCAACCTGCAACTATACTGTATAAACTCCTAATCTGTACAGCATA	12320 12320 12320
consenso_SL6 MN551232_D.buzzatii MN551234_D.koepferae_A	----- AAAAAAATAAACCTCTAAATTAAAAGAATATAATTTCACAAAAAAAGGCATACATCCACACAATTAA AAAAAAATAAACCCCTAAATTAAAAGAATATAATTTCACAAAAAAAGGTATACATATTCACACAATTAG	12390 12390 12390
consenso_SL6 MN551232_D.buzzatii MN551234_D.koepferae_A	----- AGATAAAAACAATGATAAAATTGGAGAAATATAACTTAAATAATTGATAATAAGGATAAGTTGT AGATAAAAATAAGATAAAATTGGAGAAATATAACTTAAATAATTGATAATAAGGATAAGTTGT	12460 12460 12460
consenso_SL6 MN551232_D.buzzatii MN551234_D.koepferae_A	----- TCTTTGTAATAATTAAATTGCACTACAAATGGTGAGGAATTCTATTAAATCCAACCTTATTGGAC TCTTTGTAATAATTAAATTGCACTACAAATGGTGAGGAATTCTATTAAATCCAACCTTATTGGAC	12530 12530 12530
consenso_SL6 MN551232_D.buzzatii MN551234_D.koepferae_A	----- CTTTACGAATTGAAATAACCTAAACTTACGTTCCAATAAGTTAAAGCACTTACTAAAC CTTTACGAATTGAAATAACCTAAACTTACGTTCTAATAAGTTAAAGCACTCTAACAGTAC	12600 12600 12600
consenso_SL6 MN551232_D.buzzatii MN551234_D.koepferae_A	----- ACAAATAATAATTAAACTTCAATTAAAGATATAACTAACTTCTATAAAACAGTACTATTGTAA ACAAATAATAATTAAACTTCAATTAAAGATATAACTAACTTCTATAAAACAGTACTATTGTAA	12670 12670 12670
consenso_SL6 MN551232_D.buzzatii MN551234_D.koepferae_A	----- AT-AAATTACATAAAATTCTAAATTATTGCACTAATCTGCCAAATAGCTTATTAAATAATT ATAAAATTACATAAAATTCTAAATTATTGCACTAATCTGCCAAATAGCTTATTAAATAATT	12740 12740 12740
consenso_SL6 MN551232_D.buzzatii MN551234_D.koepferae_A	----- CATTTCTAAATATAATTATTAAATTGGCTTCTCGTACTAAACATTATAATTAAAGATAG CATTTCTAAATATAATTATTAAATTGGCTTCTCGTACTAAACATTATAATTAAAGATAG	12810 12810 12810
consenso_SL6 MN551232_D.buzzatii MN551234_D.koepferae_A	----- AAACCAACCTGGCTACACCTAAATTATCTTAATCCAACATCGAGGTCGCAATTTTATCGATAAGAAC AAACCAACCTGGCTACACCTAAATTATCTTAATCCAACATCGAGGTCGCAATTTTATCGATAAGAAC	12880 12880 12880
consenso_SL6 MN551232_D.buzzatii MN551234_D.koepferae_A	----- TTAACCGGGCTACACCTAAATTATCTTAATCCAACATCGAGGTCGCAATTTTATCGATAAGAAC TTAACCGGGCTACACCTAAATTATCTTAATCCAACATCGAGGTCGCAATTTTATCGATAAGAAC	12950 12950 12950
consenso_SL6 MN551232_D.buzzatii MN551234_D.koepferae_A	----- TCTCCAAAAAAATTACGCTTATCCCTAAAGTACTTAAATTAACTTATGATCAATTAT TCTCCAAAAAAATTACGCTTATCCCTAAAGTACTTAAATTAACTTATGATCAATTAT	13020 13020 13020
consenso_SL6 MN551232_D.buzzatii MN551234_D.koepferae_A	----- TCATAAAATTAAATGAAATTAAATTAAAGTTTAAATTAAATATCACCCAATAAAATTAA TCATAAAATTAAATGAAATTAAATTAAAGTTTAAATTAAATATCACCCAATAAAATTAA	13090 13090 13090
consenso_SL6 MN551232_D.buzzatii MN551234_D.koepferae_A	----- TTTATAAAACAAAATCTTAATAATTAAATAAAATATAAAAGATTATAGGGTCTTCGTC TTTATAAAACAAAATCTTAATAATTAAATAAAATATAAAAGATTATAGGGTCTTCGTC	13160 13160 13160
consenso_SL6 MN551232_D.buzzatii MN551234_D.koepferae_A	----- TTTTAAATAATTAGCTTTGACTAAAAATAAAATTCTAAAAAAATTAAATGAAACAGTTAATA TTTTAAATAATTAGCTTTGACTAAAAATAAAATTCTAAAAAAATTAAATGAAACAGTTAATA	13230 13230 13230
consenso_SL6 MN551232_D.buzzatii MN551234_D.koepferae_A	----- TTTCGTCACCATTCTAACCTCCAGCCTCAATTAAAGACTATGATTGCTACCTTGCACAGTTAAA TTTCGTCACCATTCTAACCTCCAGCCTCAATTAAAGACTATGATTGCTACCTTGCACAGTTAAA	13300 13300 13300
consenso_SL6 MN551232_D.buzzatii MN551234_D.koepferae_A	----- TACTCGGCCATTAAAAATTCACTGGCAGGTTAGACTTTAAATTCAAAGACATGTTTGT TACTCGGCCATTAAAAATTCACTGGCAGGTTAGACTTTAAATTCAAAGACATGTTTGT	13370 13370 13370
consenso_SL6 MN551232_D.buzzatii MN551234_D.koepferae_A	----- TAAACAGGCAACATTATTGGCGAATTCTTACTTAAACTTTCTATTATTTATTACAAAT TAAACAGGCAACATTATTGGCGAATTCTTATTAAACTTTCTATTACATTTACTATT	13440 13440 13440

consenso_SL6		13510
MN551232_D.buzzatii		
MN551234_D.koepferae_A	ATGTATATATATACTAATTTCATTACTTAACCTAAAAATTAAAGTTAATTTCAATAAATAA ACAATAATATATACTAATTTCATTACTTAATTAAAAATTAAATTTCAATAAATAA	13510
consenso_SL6		13580
MN551232_D.buzzatii		
MN551234_D.koepferae_A	TTAAAATATAATAAATAATTTATTTATAAAATTATAACATAATTAAACAAATTGCTAATTCTAA TTAAAATATAATAAATAATTTATTTATAAAATTATAACATAATTAAACAAATTGCTAATTCTAA	13580
consenso_SL6		13650
MN551232_D.buzzatii		
MN551234_D.koepferae_A	GCATATTTATTAATTTATTATAAAATTATAAAATTATAACATAATTAAACAAATTGCTAATTCTAA GCATATTTATTAATTTATTATAAAATTATAAAATTATAACATAATTAAACAAATTGCTAATTCTAA	13650
consenso_SL6		13720
MN551232_D.buzzatii		
MN551234_D.koepferae_A	TTTATAAATTATTAATTTATAAAATTTAAATTATAAAATTATAACATAATTCTGAATTAAATTCTTGAA TTTATAAACTATTAATTTATAAAATTATAAAATTATAACATAATTCTGAATTAAATTCTTGAA	13720
consenso_SL6		13790
MN551232_D.buzzatii		
MN551234_D.koepferae_A	AAAAGTAGATACTTTAAAAACGAATAACATTCTAATATAATTCTCAAATTATTAAACAC AAAAGTAGATACTTTAAAAACGAATAACATTCTAATATAATTAAACAAATTTTATCACAA	13790
consenso_SL6		13860
MN551232_D.buzzatii		
MN551234_D.koepferae_A	TAACTTAATATTATAACTCTTTAAATCGAGAAAAATTTCATATTTTTTTAATAAACAC TAACTTAATATTATAACTCTTTAAATCGAGAAAAATTTCATATTTTTTATAAACAC	13860
consenso_SL6		13930
MN551232_D.buzzatii		
MN551234_D.koepferae_A	TGATACACAAGGTACAATAATTAAATTTCATTTAAATAAAATTTCATTTCAAAATTTCATTTCT TGATACACAAGGTACAATAATTAAATTTCATTTAAATAAAATTTCATTTCAAAATTTCATTTCT	13930
consenso_SL6		14000
MN551232_D.buzzatii		
MN551234_D.koepferae_A	TTACAATACTATTAACATTATTAAATTATTTTCTTTAAACAATACTCAAACCTTTTATTATAAAA TTACAATACTATTAACATTATTAAATTATTTTCTTTAAACAATACTAAACACTTTTTATAAAA	14000
consenso_SL6		14070
MN551232_D.buzzatii		
MN551234_D.koepferae_A	TTATTTTAATTTAAATAAAACTAAAAAAATTAAATAAAATCTAATCAATTATATTGATTG TTATTTTAATACTTTAAATAAAATTAAATAAAATCTAATCAATTATATTGATTG	14070
consenso_SL6		14140
MN551232_D.buzzatii		
MN551234_D.koepferae_A	CACAAAAATCTTCATGTAAATGAAATGCTTACTTAATAAGCTTAAATTGTCATTCTAGATACACT CACAAAAATCTTCATGTAAATGAAATGCTTACTTAATAAGCTTAAATTGTCATTCTAGATACACT	14140
consenso_SL6		14210
MN551232_D.buzzatii		
MN551234_D.koepferae_A	TTCCAGTACATCTACTATGTTACGACTTATCTACCTTAATAAAGAGCGACGGCGATGTGACATAT TTCCAGTACATCTACTATGTTACGACTTATCTACCTTAATAAAGAGCGACGGCGATGTGACATAT	14210
consenso_SL6		14280
MN551232_D.buzzatii		
MN551234_D.koepferae_A	TTTAGAGCTAAATCAAATTATAATCTATATAATTTCACACCAATTCCACCTCAAAATTTCAT TTTAGAGCTAAATCAAATTATAATCTATATAATTTCACACCAATTCCACCTCAAAATTTCAT	14280
consenso_SL6		14350
MN551232_D.buzzatii		
MN551234_D.koepferae_A	AATTTCATCCGTATAAAATTATTGTAAACCATTATTACTTAATAAGCTACACCTTGATCTGAT AATTTCATCCGTTAAATAAAATTATTGTAAACCATTATTACTTAAGTATAAGCTACACCTTGATCTGAT	14350
consenso_SL6		14420
MN551232_D.buzzatii		
MN551234_D.koepferae_A	ATAAATTCTTTAAATTATTGAATTATAATTCTTATAAAATTCTGATAACGACGGTATATAAAC ATAAATTCTTTAAATTATTGAATTATAATTCTTATAAAATTCTGATAACGACGGTATATAAAC	14420
consenso_SL6		14490
MN551232_D.buzzatii		
MN551234_D.koepferae_A	TGATAACAAACTTAAGTAAGGTCCATCGTGGATTATCGATTACAAAACAGGTTCTCTGGATAGACTAAA TGATTACAAACTTAAGTAAGGTCCATCGTGGATTATCGATTACAAAACAGGTTCTCTGGATAGACTAAA	14490
consenso_SL6		14560
MN551232_D.buzzatii		
MN551234_D.koepferae_A	ATACCGCCAATTTCAGTTCAAGAACATAACTTACTACTTAAGTATTATTTACATTAAA ATACCGCCAATTTCAGTTCAAGAACATAACTTACTACTTAAGTATTATTTACATTAAA	14560
consenso_SL6		14630
MN551232_D.buzzatii		
MN551234_D.koepferae_A	TAATAGGGTATCTAATCCTAGTTAATTAAATTAACTTGCAGCTCAATTATTAAATATAAAATT TAATAGGGTATCTAATCCTAGTTAATTAAATTAACTTGCAGCTCAATTATTAAATATAAAATT	14630
consenso_SL6		14700

MN551232_D.buzzatii	AAATTTAAAATTCACTTAATAAATTCAATTATTTAACAAAAATCAATTAACTTTACTAATAAAAT	14700
MN551234_D.koepferae_A	AAATTTAAAATTCACTTAATAAATTAAATTATTTAACAAAAATCAATTAACTCTACTAATAAAAT	14700
 consenso_SL6	-----	14770
MN551232_D.buzzatii	TCATTGTATAATTAGTATAACCGGATTGCTGGACCAATTATCTATACCTCTTAAATTACTATAT	14770
MN551234_D.koepferae_A	TCATTGTATAATTAGTGTAAACCGGATTGCTGGACCAATTATCTATACCTCTTAAATTACTATAT	14770
 consenso_SL6	-----	14840
MN551232_D.buzzatii	CTAAATTCTTTAATTATAAAATTAAATTACTGCGGTATAAATAATTATTTAAATAAAATAA	14840
MN551234_D.koepferae_A	CTAAATTCTTTAATTATAAAATTAAATTACTGCGGTATAAATAATTATTTAAATAAAATAA	14840
 consenso_SL6	-----	14907
MN551232_D.buzzatii	AGTTTCACACAAAATTACATATAAATCAAATTAAACAATTTTAAGC AAAAATTTAAGC	14907
MN551234_D.koepferae_A	AATTTCACACAAAATTACATATAAATCAAATTAAACAATTTTAAGC AAAAATTTAAGC	14907

Alineamiento 2: alineamiento múltiple de consenso_SLwhite con el genoma mitocondrial de *D. buzzatii* y *D. koepferae A*.

CLUSTAL W 2.0 multiple sequence alignment

consenso_SLwhite	-----	70
MN551232_D.buzzatii	AATGAATTGCCTGATAAAAGGGTTACCTTGATAGGGTAAATTATGTAGTATTCTACATTAAACATT	70
MN551234_D.koepferae_A	AATGAATTGCCTGATAAAAGGGTTACCTTGATAGGGTAAATTATGTAGTATTCTACATTAAACATT	70
 consenso_SLwhite	-----	140
MN551232_D.buzzatii	TTATTTCTAAAAAAATAAGTAATTATCTAATAGAATTAAACTATTCTAAAGTATCAAAAACTT	140
MN551234_D.koepferae_A	TTATTTTTTTAAAGCAATTATCTAATAGAATTAAACTATTCTAAAGTATCAAAAACTT	140
 consenso_SLwhite	-----	210
MN551232_D.buzzatii	TGTGCATCATACACTAAAAATAAAAAGATAAGCTAATTAAAGCTACTGGGTTCATACCCATTATAAAG	210
MN551234_D.koepferae_A	TGTGCCTCGTACACTAAAAATAAAAAGATAAGCTAATTAAAGCTACTGGGTTCATACCCATTATAAAG	210
 consenso_SLwhite	-----	280
MN551232_D.buzzatii	GTTTAATCCTTTCTTTTAATTTTAACAACTCTTCAAAAATTTTATTTTACAATAATAATTATG	280
MN551234_D.koepferae_A	GTTTAATCCTTTCTTTTAATTTTAACAACTCTTCAAAAATTTTATTTTACAATAATAATTATG	280
 consenso_SLwhite	-----	350
MN551232_D.buzzatii	GAACTCTAACAGTAACCGAAATTCTGGTAGGAGCTTGAATAGGTTAGAAATTAAATTATC	350
MN551234_D.koepferae_A	GAACTCTAACAGTAACTGCACATTCTGGTAGGAGCTTGAATAGGTTAGAAATTAAATTATC	350
 consenso_SLwhite	-----	420
MN551232_D.buzzatii	TTTATCCCCCTATAAGAGATAGTAAATAATTAAATCAACTGAAGCTTCTTAAATTTAAC	420
MN551234_D.koepferae_A	TTTATCCCCCTATAAGAGATAGTAAATAATTAAATCAACTGAAGCTTCTTAAATTTAAC	420
 consenso_SLwhite	-----	490
MN551232_D.buzzatii	CAAGCTCTGCTTCAACAGTTCTTATTTCGTAAATTATTAATTAGAAATAGCATAATTATG	490
MN551234_D.koepferae_A	CAAGCTCTGCTTCAACAGTTCTTATTTCGTAAATTATTAATTAGAAATATAATTATG	490
 consenso_SLwhite	-----	560
MN551232_D.buzzatii	AAATTAAATGTTCTTTATTCAATAATTACATTCAACTTTATTAAAAAAGAGGAACAGCTCATT	560
MN551234_D.koepferae_A	AAATTAAATATTCTTACTCAATAATTACATTCAACTTTATTAAAAAAGAGGAACAGCCCCATT	560
 consenso_SLwhite	-----	630
MN551232_D.buzzatii	TCATTGATTCACCTTAATTTAACAGGATTAACTGAATAATGCTTACTTTAATAACGTGCAA	630
MN551234_D.koepferae_A	TCATTGATTCACCTTAATTTAACAGGATTAACTGAATAATGCTTACTTTAATAACGTGCAA	630
 consenso_SLwhite	-----	700
MN551232_D.buzzatii	AAAATTCACCTTAATTTAACAGGATTAACTGAATAATGCTTACTTTAATAACGTGCAA	700
MN551234_D.koepferae_A	AAAATTCACCTTAATTTAACAGGATTAACTGAATAATGCTTACTTTAATAACGTGCAA	700
 consenso_SLwhite	-----	770
MN551232_D.buzzatii	CAGTTATAATTGGAGCAATTGGAGGTTAACCAACATCGCTACGTAAATTAGCTTATTCTCAAT	770
MN551234_D.koepferae_A	CAGTTATAATTGGAGCAATTGGAGGTTAACCAACATCTTACGTAAATTAGCTTATTCTCAAT	770
 consenso_SLwhite	-----	840
MN551232_D.buzzatii	TAATCATTTAGGTTGGATATTGAGAGCTTAATTTAACATCCGCTTGATTATTTATTTTATT	840
MN551234_D.koepferae_A	TAATCATTTAGGTTGGATATTGAGAGCTTAATTTAACATCCGCTTGATTATTTATTTTATT	840
 consenso_SLwhite	-----	910
MN551232_D.buzzatii	TATTCTTTTATCATCTATTAAATTAAATTCAATTTCATTAAATCAGTTAT	910

MN551234_D.koepferae_A	TATTCTTTTATCATTTACTTAATTTATTTAATTCAAATTATTCATTAAATCAACTAT	910
consenso_SLwhite MN551232_D.buzzatii MN551234_D.koepferae_A	----- TTGTATATTACACAAAGAAAATTTAAATTTATTTATAAAATTTCCTTAGGGGTT TTATTACATTACACAAAGAAAATTTAAATTATTTATAAAATTTCCTTAGGTGATT	980 980 980
consenso_SLwhite MN551232_D.buzzatii MN551234_D.koepferae_A	----- ACCACCATTTGGATTTACCAAATGAATTGAACTCAACAACACTTTTAGCCAATAC ACCTCCATTGGATTTACCAAATGAATTGAACTCAACAACACTTTGTAACCAATT	1050 1050 1050
consenso_SLwhite MN551232_D.buzzatii MN551234_D.koepferae_A	----- CAATTATAATTACTATCACTTAATCACATTATTTTACGAATATGTTCTGCTT CAATTGTTAATTATTAATATCACTTAATTACTTATTTTACGAATATGTTCTGCTT	1120 1120 1120
consenso_SLwhite MN551232_D.buzzatii MN551234_D.koepferae_A	----- TTATGCTAAATTACGAAAATTGAAATATAAGCTACAAATTAAACTTTAATAAACATT TCATACTAAATTACGAAAATTGAAATATAACATTACAAATTAAACTTTCATAAACATT	1190 1190 1190
consenso_SLwhite MN551232_D.buzzatii MN551234_D.koepferae_A	----- TATAATCTTCATTATTCAAATTGGTTAATATTATCCAAATTTCATAACTAACAA TATAATTTCATTATTCAAATTGGACTAATTCACCCAAATTTCATAACTAACATTAA	1260 1260 1260
consenso_SLwhite MN551232_D.buzzatii MN551234_D.koepferae_A	----- GGCTTAAGTAAATAACTATAGCCTCAAAGCTATGAATATAGGAATATCCTTAAGT GGCTTAAGTAAATAACTATAGCCTCAAAGCTATAATAGGATATCCTTAAGTCTAGT	1330 1330 1330
consenso_SLwhite MN551232_D.buzzatii MN551234_D.koepferae_A	----- AAATTACTCCTCAAAATTGCAGTTGATGTCATTGACTATAAGACCTAAATTAGT AAATTACTCCTCAAAATTGCAGTTGATATCATTGACTATAAGACCTAAATTAGAATG	1400 1400 1400
consenso_SLwhite MN551232_D.buzzatii MN551234_D.koepferae_A	----- AAGAAGATAATTCTTAAATAGATTACAATCTATCGCCT-ACTTCAGCCACTTAAT AAGAAGATAATTCTTAAATAGATTACAATCTATCGCCTAACCTCAGCCACTTAAT	1470 1470 1470
consenso_SLwhite MN551232_D.buzzatii MN551234_D.koepferae_A	----- ATTATTCTAACAAATCATAAGGATATTGAACTTTATATTTCGAGCTTGAGCCGAAT ATTATTCTAACAAATCATAAGGATATCGGAACTTTATATTTCGAGCTTGAGCCGAAT	1540 1540 1540
consenso_SLwhite MN551232_D.buzzatii MN551234_D.koepferae_A	----- GGAACATCTTAAGAATTAAATCCTGCTGAATTAGTCATCTGGAGCTTAATTGTAAC GGAACATCTTAAGAATTAAATCCTGCTGAATTAGTCATCTGGAGCTTAATTGGTAT	1610 1610 1610
consenso_SLwhite MN551232_D.buzzatii MN551234_D.koepferae_A	----- GTAATTGGAACAGCTCACGCTTTGTAATAATTTCAGTGTATTGATCCTGCAATT TTTATAATGTAATTGTAACAGCTCACGCTTTGTAATAATTTCAGTGTATTGATCCT TTTATAATGTAATTGTAACAGCTCATGCTTGTAATAATTTCAGTGTATTGATCCT *****	1680 1680 1680 *****
consenso_SLwhite MN551232_D.buzzatii MN551234_D.koepferae_A	----- AGGATTGGAAATTGATTAGTTCCCTTAATATTAGGAGCTCTGATATAGCATTCC AGGATTGGAAATTGATTAGTACCTTAATATTAGGAGCTCTGATATAGCATTCC AGGATTGGAAATTGATTAGTCCCTTAATATTAGGAGCTCTGATATAGCATTCC *****	1750 1750 1750 *****
consenso_SLwhite MN551232_D.buzzatii MN551234_D.koepferae_A	----- ATAAGTTTTGACTATTACCTCCTGCTTAACACTTTGTTAGTAAGTAGTATAGT ATAAGTTTTGACTATTACCTCCTGCTTAACACTTTGTTAGTAAGTAGTATAGT ATAAGTTTTGACTATTACCTCCTGCTTAACACTTTGTTAGTAAGTAGTATAGT *****	1820 1820 1820 *****
consenso_SLwhite MN551232_D.buzzatii MN551234_D.koepferae_A	----- GAACAGGATGAACGTTACCCCCCTCTATCTTCGGTATTGCACTGGTGGCTCAG GAACAGGATGAACGTTACCCCCCTCTATCTTCGGTATTGCGATGGTGGCTCAG GAACAGGATGAACGTTACCCCCCTCTATCTTCGGTATTGCACTGGTGGCTCAG *****	1890 1890 1890 *****
consenso_SLwhite MN551232_D.buzzatii MN551234_D.koepferae_A	----- TATTCTCTTACACTTAGCTGGAAATTCTCAATTAGGAGCAGTAATTTCAGTGA TATTCTCTTACACTTAGCGGAATTCTCAATTAGGAGCAGTAATTTCAGTGA TATTCTCTTACACTTAGCTGGAAATTCTCAATTAGGAGCAGTAATTTCAGTGA *****	1960 1960 1960 *****
consenso_SLwhite MN551232_D.buzzatii MN551234_D.koepferae_A	----- AATATACGATCTACAGGAATTACATTAGATCGAACCTTATTGTCAGTGTAA AATATACGATCTACAGGAATTACATTAGACCGAACCTTATTGTCAGTGTAA AATATACGATCTACAGGAATTACATTAGATCGAACCTTATTGTCAGTGTAA *****	2030 2030 2030 *****
consenso_SLwhite MN551232_D.buzzatii MN551234_D.koepferae_A	----- TATTACTCTTTACCTTACCTGTTAGCAGGAGCTATTACTATACTTAACTGAT TATTGCTCTCTATCTTACCTGTTAGCAGGAGCTATTACTATACTTAACTGAC TATTACTCTTTACCTTACCTGTTAGCAGGAGCTATTACTATACTTAACTGAT *****	2100 2100 2100 *****

consenso_SLwhite
 MN551232_D.buzzatii
 MN551234_D.koepferae_A

TACTCTTTTCGACCCAGCGGAGGAGAGATCCAATTCTTACCAACATTTATTTGATTTGGAA 2170
TACTCTTTTCGACCCGGCAGGAGGAGAGATCCAATTCTTACCAACATTTATTTGATTTGGAA 2170
TACTCTTTTCGACCCAGCGGAGGAGAGATCCAATTCTTACCAACATTTATTTGATTTGGAA 2170

CACCCAGAAGTTATTTAATTTAACAAATTCTGAATAATTCTCATATTATTAGTCAGAAATCGG 2240
CACCCAGAAGTTATTTAATTTAACCGGATTGGAAATGATTCTCATATTATCAGCAAGAACATCG 2240
CACCCAGAAGTTATTTAATTTAACCGGATTGGAAATGATTCTCATATTATTAGTCAGAAATCGG 2240

GAAAGAAGGGAAACATTGGATCTTAGAATAACTACGCAATTAGCAATTGGATTACTGGATTCAT 2310
GAAAAGAACATTGGCTTTAGAATAATTACGCAATTAGCAATTGGATTACTGGATTCAT 2310
GGAAGAAGGGAAACATTGGATCTTAGAATAACTACGCAATTAGCAATTGGATTACTGGATTCAT 2310

TGTTTGAGCCCCATCATATATTACAGTTGGATAGACGTACAGGCTTATTTACATCAGCAACA 2380
TGTTTGAGCCCCATCATATATTACAGTTGGATAGACGTACAGGCTTATTTACATCAGCAACA 2380
TGTTTGAGCCCCATCATATATTACAGTTGGATAGACGTACAGGCTTATTTACATCAGCAACA 2380

ATAATTATTGCAGTCCAAACAGGAATAAAATTTCAGATGACTCTACATGGAGCTCAACTTT 2450
AGTTATTGCAGTCCAAACAGGAATAAAATTTCAGATGACTCTACAGGCTCAACTTT 2450
ATAATTATTGCAGTCCAAACAGGAATAAAATTTCAGATGACTCTACATGGAGCTCAACTTT 2450

CTTATTCACCAGCTATTATGAGCCTTAGGATTGTATTTCACAGTTGGAGGTTAACTGGGGT 2520
CTTATTCACCAGCTATTATGAGCTTAGGATTGTATTTCACAGTTGGAGGTTAACTGGGGT 2520
CTTATTCACCAGCTATTATGAGCCTTAGGATTGTATTTCACAGTTGGAGGTTAACTGGGGT 2520

AGTTCTTGCAAAATTCAATTGATATTATTTACATGATACATATTATGAGTTGCTCAATTTCATTAT 2590
AGTTCTGCAAACCTCATCAATTGATATTATTTACATGATACATATTATGAGTTGCTCAATTTCATTAT 2590
AGTTCTTGCAAAATTCAATTGATATTATTTACATGATACATATTATGAGTTGCTCAATTTCATTAT 2590

CTTCTTCTATAGGAGCAGTATTGCTATTAGCACGATTATTGATACCCCTTATTACAGGTT 2660
CTTCTTCTATAGGAGCAGTATTGCTATTAGCACGATTATTGATACCCCTTATTACAGGAT 2660
CTTCTTCTATAGGAGCAGTATTGCTATTAGCACGATTATTGATACCCCTTATTACAGGTT 2660

TAACCTAAATAATAATGACTAAAAAGTCATAATTACTA----- 2730
TAACCTAAATAATAATGATT-AAAAGTCATAATTACTAATTACTAATTGTTGAAATTAACTTTT 2730
TAACCTAAATAATAATGACT-AAAAGTCATAATTACTAATTACTAATTGTTGAAATTAACTTTT 2730

 ----- 2800
TCCCTCAACACTTCTAGGATTAGCAGGCATACCTCGACGATACTCGAGATTACCCAGATGCTTACACAAC 2800
TCCCTCAACACTTTCTAGGATTAGCAGGAATACACGACGATATTGATTCAGATTCTGATGCTTACACAAC 2800
 ----- 2870
ATGAAATGTAATTCAACAATCGGTCATCAATCTCATTATTAGAATTTTATTTCTTATATT 2870
ATGAAATGTAATTCAACCACGTCGTTACATCTCATTATTAGAATTTTATTTCTTATATCATT 2870
 ----- 2940
TGAGAAAGTTAGTATCACACGACAAGTGATTACCTTACCAATTAAATTCTCAATCGAATGATACC 2940
TGAGAAAGTTAGTATCCCACGACAAGTAATTCTCAATTAAATTCTCAATTGAAATGATACC 2940
 ----- 3010
AAAATACTCCTCCGCTGAACACAGATACTCTGAATTACCTTATTAACTAACAAATTATG 3010
AAAATACTCCTCCGCTGAACACAGATACTCTGAATTACCTTATTAACTAACAAATTATG 3010
 ----- 3080
CAGATTAGTGAATGGATTAAAGCTCCATATATAAAGTATTACTTATTAGAAAACATAATGTCACAT 3080
CAGATTAGTGAATGGATTAAAGCTCCATATATAAAGTATTACTTATTAGAAAACATAATGTCACAT 3080
 ----- 3150
GAGCTAATTAGTCTCAAGATAGAGCTCCCTTAATAGAACACAATTTTACGATCATGC 3150
GAGCTAATTAGTCTCAAGATAGAGCTCCCTTAATAGAACACAATTTTACGATCATGC 3150
 ----- 3220
TTTATTAATTAGTAAATAATTACTGTTTAGTAGGATACCTTATTCATATTATTTAATAATTAT 3220
TTTATTAATTAGTAAATAATTACTGTTTAGTAGGATATTAATTTATTTAACAATTAT 3220
 ----- 3290
GTAAATCGATTCTCTCCACGGCAATTAAATTGAAATAATTGAACTATTACCGCAATTATCTT 3290
GTAAATCGATTCTCTCCACGGCAATTAAATTGAAATAATTGAACTATTACCGCAATTATCTT 3290
 ----- 3360
TATTATGCAATTCCCTCTTACGATTACTTACCTCTGATGAAATTATGAAACCTTCGGTACTCT 3360
TATTATGCAATTCCATCTTACGATTACTTACCTCTGATGAAATTATGAAACCTTCAGTACTCT 3360

consenso_SLwhite MN551232_D.buzzatii MN551234_D.koepferae_A	----- AAAAAGAATTGGTCACCAATGATATTGATCTTATGAATATTCAAGATTTAATAATATTGAATTGATTCT AAAAAGAATTGGTCATCAATGATATTGATCTTATGAATATTCAAGATTTAATAATATTGAATTGATTCT	3430 3430 3430
consenso_SLwhite MN551232_D.buzzatii MN551234_D.koepferae_A	----- TATATAATCCCTACAAATGAACACTAACACTGATGGATTCGTTACTAGATGTTGATAATCGAACATTGTAC TATATAATCCCTACAAATGAACACTAACACTGATGGATTCGTTACTAGATGTTGATAATCGAACATTGTCC	3500 3500 3500
consenso_SLwhite MN551232_D.buzzatii MN551234_D.koepferae_A	----- TTCCAATAATTCTCAAATTCGAATTAGTAACAGCCGAGATGTAATTCTTGAAACAATCCCAGC TCCCTATAATTCTCAAATTCGAATTAGTAACAGCTGAGATGTAATTCTTGAAACAATCCTGC	3570 3570 3570
consenso_SLwhite MN551232_D.buzzatii MN551234_D.koepferae_A	----- TTTAGGAGTAAAGGTGATGGAACACCTGGCGTTAAACCAAACTAATTTCATCAATGCCAGGG TTTGGGAGTAAAGGTGATGGAACACCAGGACGTTAAACCAAACTAATTTCATCAACGCCAGGA	3640 3640 3640
consenso_SLwhite MN551232_D.buzzatii MN551234_D.koepferae_A	----- TTATTTATGGTCAATGTCAGAAATTGTTGGGCAAATCATAGTTTACATTGAAAGTG TTATTTATGGTCAATGTCAGAAATTGTTGGAGCAAATCATAGTTTATGCATTGAAAGAG	3710 3710 3710
consenso_SLwhite MN551232_D.buzzatii MN551234_D.koepferae_A	----- TTCCAACAAATTATTTATTAATGAAATTCTAATAATTAAATTCTCATAAGATGACTGAAAGCAAGT TTCCAATTAAATTATTTATTAATGAAATTCTAATAATTAAATTCTCATAAGATGACTGAAAGCAAGT	3780 3780 3780
consenso_SLwhite MN551232_D.buzzatii MN551234_D.koepferae_A	----- ACTGGCTCTAAACCATTTAATAGTAAATTAGCAGATTCTTATG-AAAAAATTAGTTAAATTAT ACTGGCTCTAAACCATTTATAGTAAATTAGCAATTACTTATGAAAAAAATTAGTTAAATTAT	3850 3850 3850
consenso_SLwhite MN551232_D.buzzatii MN551234_D.koepferae_A	----- AACATTAGTATGTCAAACACTAAAATTAAACTATTAAATTTTAAATCCCACAAATAGCACCAATTAG AACATTAGTATGTCAAACACTAAAATTAAATTAAATTTTAAATCCCACAAATAGCACCAATTAG	3920 3920 3920
consenso_SLwhite MN551232_D.buzzatii MN551234_D.koepferae_A	----- ATGACTTTATTATTTTATCTTTCAATTACTTTATTCTGTTCTTAAATTACTCTTAT ATGACTTTATTATTTTATCTTTCAATTACTTTATTCTGTTCTTAAATTACTCGTAC	3990 3990 3990
consenso_SLwhite MN551232_D.buzzatii MN551234_D.koepferae_A	----- CTTCCTCTCACCTAAATCAAATAAATTAAAAAATTAAATTAAATTCAATAAAATTGAAAATGATAAC CTTCCTCTCACCTAAATCAAATGAAATTAAAAAATTAAATTCAATAAAATTGAAAATGATAAC	4060 4060 4060
consenso_SLwhite MN551232_D.buzzatii MN551234_D.koepferae_A	----- AAATTATTTCTGATTTGACCCCTCAGCAATTAAATTATCTTAAATTGAAATTGAAACTTTCTT AAATTATTTCTGATTTGACCCCTCAGCAATTGGTTATCTTAAATTGAAATTGAAACTTTCTT	4130 4130 4130
consenso_SLwhite MN551232_D.buzzatii MN551234_D.koepferae_A	----- GGACTTTAATAATCCATATTACTGACTTACCTCACGTTACAATTATTGAAATTCAATTC GGTCTTTAATAATCCCATCAATTACTGACTTACCTCACGTTACAATTATTGAAATTCAATTC	4200 4200 4200
consenso_SLwhite MN551232_D.buzzatii MN551234_D.koepferae_A	----- TTTTAACTCTTCATAAGAATTAAACATTACTAGGACCTCAGGACATAATGGTCTACATTATTT TTCAACTCTTCATAAGAATTAAACATTATTGGGCCTCAGGTACAATGGTCTACATTATTT	4270 4270 4270
consenso_SLwhite MN551232_D.buzzatii MN551234_D.koepferae_A	----- CATTTCTTATTTCATTAATTAAATTATTTATAGGACTATTCTTATATTAAATTCAAGAAC CATTTCTTATTTCATTAATTAAATTCAATTGAGGTATTCCGTATATTAAACAGCAC	4340 4340 4340
consenso_SLwhite MN551232_D.buzzatii MN551234_D.koepferae_A	----- AGTCATTTAACTTAACCTTACATTAGCCTTACCTTATGGTTATCATTATAATTGATGAA AGTCATTTAACTTAACCTAACATTAGCATTACATTGATTATCATTTATAATTGATGAA	4410 4410 4410
consenso_SLwhite MN551232_D.buzzatii MN551234_D.koepferae_A	----- ACCACACAAACATATTGCTCATTAGTCCCTCAAGGAACCTCGGCTATTAAACCTTTATAGT ATCACACACAAACATATTGCTCATTAGTCCCTCAAGGAACCTCGAGCTATTAAACCTTTATAGT	4480 4480 4480
consenso_SLwhite MN551232_D.buzzatii MN551234_D.koepferae_A	----- ATGTATCGAAACGATTAGAAATGAAATTGTCAGGAACTTTAGCAGTTGATGAA ATGTATTGAAACTATTAGAAATGAAATTGCCCCAGGAACCTTAGCAGTTGATGAA	4550 4550 4550
consenso_SLwhite	----- GGAAACACCGGGCCCTCTATATCATATATTCTAGTAACATT	4620

MN551234_D.koepferae_A	TATTTAAATTTCTAATTCTACAAATTCCAAAATTAAATCTTGAATAAAACCCAGCTAAAAAGGT	7070
consenso_SLwhite	*****	*****
MN551232_D.buzzatii	ATCCCCACACAAAGCTAAATTGATACATTAAACAGCGAAGTCAGGTATGAAATTCTTAAACCCC	7140
MN551234_D.koepferae_A	ATCCCCACACAAAGCTAAATTGATACATTAAACAGCGAAGTCAGGTATGAAATTCTTAAACCCC	7140
consenso_SLwhite	*****	*****
MN551232_D.buzzatii	CTATTAACAGGAATATCCTGTGAATTATTATATTGAATAATAGCTCCAGCACACATAAAATAATGC	7210
MN551234_D.koepferae_A	CTATTAACAGGAATATCCTGTGAATTATTATATTGAATAATAGCTCCAGCACACATAAAATAATGC	7210
consenso_SLwhite	*****	*****
MN551232_D.buzzatii	CTATTAACAGGAATATCCTGTGAATTATTATATTGAATAATAGCTCCAGCACACATAAAATAATGC	7210
MN551234_D.koepferae_A	CTATTAACAGGAATATCCTGTGAATTATTATATTGAATAATAGCTCCAGCACACATAAAATAATGC	7210
consenso_SLwhite	*****	*****
MN551232_D.buzzatii	TTTAAATAAACAGCATGTGCAATAAATGAAATAGCTAATTATAAAATCTATTGATAAAATTCTTATT	7280
MN551234_D.koepferae_A	TTTAAATAAACAGCATGTGCAATAAATGAAATAGCTAATTATAAAATCTATTGATAAAATTCTTATT	7280
consenso_SLwhite	*****	*****
MN551232_D.buzzatii	ATTAACCTAACTGACTTAATGTTGATAACGCAATAATTTTTTAAATCAAATTCAAATTAGGCCCTA	7350
MN551234_D.koepferae_A	ATTAACCTAACTGACTTAATGTTGATAACGCAATAATTTTTTAAATCAAATTCAAATTAGGCCCTA	7350
consenso_SLwhite	*****	*****
MN551232_D.buzzatii	ATTAACCTAACTGACTTAATGTTGATAACGCAATAATTTTTTAAATCAAATTCAAATTAGGCCCTA	7350
MN551234_D.koepferae_A	ATTAACCTAACTGACTTAATGTTGATAACGCAATAATTTTTTAAATCAAATTCAAATTAGGCCCTA	7350
consenso_SLwhite	*****	*****
MN551232_D.buzzatii	AACCTGCTATAAATATTGTTAACCTGATAATAAAAGTAAACCTGCCATTATCATGAATTCTTAATT	7420
MN551234_D.koepferae_A	AACCTGCTATAAATATTGTTAACCTGATAATAAAAGTAAACCTGTCCATTATCATGAATTCTCAATAA	7420
consenso_SLwhite	*****	*****
MN551232_D.buzzatii	AACCTGCTATAAATATTGTTAACCTGATAATAAAAGTAAACCTGTCCATTATCATGAATTCTTAATAA	7420
MN551234_D.koepferae_A	AACCTGCTATAAATATTGTTAACCTGATAATAAAAGTAAACCTGTCCATTATCATGAATTCTTAATAA	7420
consenso_SLwhite	*****	*****
MN551232_D.buzzatii	AATTTAAACCGGATAATAAAATAACTCCTGCAGTTACCAAAGTTGATGAATGAACTAAAGCAGAACAA	7490
MN551234_D.koepferae_A	AATTTAAACCGGATAATAAAATAACTCCTGCAGTTACCAAAGTTGATGAATGAACTAAAGCAGAACAA	7490
consenso_SLwhite	*****	*****
MN551232_D.buzzatii	AATTTAAACCGGATAATAAAACTCCTGCAGTTACCAAAGTTGATGAATGAACTAAAGCAGAACAA	7490
MN551234_D.koepferae_A	AATTTAAACCGGATAATAAAACTCCTGCAGTTACCAAAGTTGATGAATGAACTAAAGCAGAACAA	7490
consenso_SLwhite	*****	*****
MN551232_D.buzzatii	GGAGTAGGGGCAGCTATCGCAGCAGGTAAATCAAGAAGAAAATGGAATTGTGCTCTTTGTTATAGCCG	7560
MN551234_D.koepferae_A	GGAGTAGGGGCAGCTATCGCAGCAGGTAAATCAAGAAGAAAATGGAATTGTGCTCTTTGTTATAGCCG	7560
consenso_SLwhite	*****	*****
MN551232_D.buzzatii	GGAGTAGGGGCAGCTATCGCAGCAGGTAAATCAAGAAGAAAATGGAATTGTGCTCTTTGTTATAGCCG	7560
MN551234_D.koepferae_A	GGAGTAGGGGCAGCTATCGCAGCAGGTAAATCAAGAAGAAAATGGAATTGTGCTCTTTGTTATAGCCG	7560
consenso_SLwhite	*****	*****
MN551232_D.buzzatii	CCAATATAACTAATGAACCAATAATTATTATGTTGAGATCAAGTTATAAAATA	7630
MN551234_D.koepferae_A	CCAATATAACTAATGAACCAATAATTATTATGTTGAGATCAAGTTATAAAATA	7630
consenso_SLwhite	*****	*****
MN551232_D.buzzatii	ATTTCATCTCCATATTAAATTCAAGCAATTGCTAACRACAATGCTACATCACCAATTGATTGAT	7700
MN551234_D.koepferae_A	ATTTCATCTCCATATTAAATTCAAGCAATTGCTAACRACAATGCTACATCACCAATTGATTGAT	7700
consenso_SLwhite	*****	*****
MN551232_D.buzzatii	ATTTCATCTCCATATTAAATTCAAGCAATTGCTAACRACAATGCTACATCACCAATTGATTGAT	7700
MN551234_D.koepferae_A	ATTTCATCTCCATATTAAATTCAAGCAATTGCTAACRACAATGCTACATCACCAATTGATTGAT	7700
consenso_SLwhite	*****	*****
MN551232_D.buzzatii	AAACCGAGTTAATATCCCAGCATTATGTTAAATTTGAAATAATTACTAAACAATAAGAAACTA	7770
MN551234_D.koepferae_A	AAACCGAGTTAATATCCCAGCATTATGTTAAATTTGAAATAATTACTAAACAATAAGAAACTA	7770
consenso_SLwhite	*****	*****
MN551232_D.buzzatii	AAACCGAGTTAATATCCCAGCATTATGTTAAATTTGAAATAATTACTAAACAATAAGAAACTA	7770
MN551234_D.koepferae_A	AAACCGAGTTAATATCCCAGCATTATGTTAAATTTGAAATAATTACTAAACAATAAGAAACTA	7770
consenso_SLwhite	*****	*****
MN551232_D.buzzatii	ATCCCTAACCATCTCATCCAGTAAATTCTACTAAATTGGTCTAAATTAAATAATTATTGATAT	7840
MN551234_D.koepferae_A	ATCCCTAACCATCTCATCCAGTAAATTCTACTAAATTGGTCTAAATTAAATAATTATTGATAT	7840
consenso_SLwhite	*****	*****
MN551232_D.buzzatii	ATCCCTAACCATCTCATCCAGTAAATTCTACTAAATTGGTCTAAATTAAATAATTATTGATAT	7840
MN551234_D.koepferae_A	ATCCCTAACCATCTCATCCAGTAAATTCTACTAAATTGGTCTAAATTAAATAATTATTGATAT	7840
consenso_SLwhite	*****	*****
MN551232_D.buzzatii	AACAAATTTAAACTAATATAAACTGATTAATTTAAATCACTTCTTATATTCTTCTGTAG	7910
MN551234_D.koepferae_A	AACAAATTTAAACTAATATAAACTGATTAATTTAAATCACTTCTTATATTCTTCTGTAG	7910
consenso_SLwhite	*****	*****
MN551232_D.buzzatii	AACAAATTTAAACTAATATAAACTGATTAATTTAAATCACTTCTTATATTCTTCTGTAG	7910
MN551234_D.koepferae_A	AACAAATTTAAACTAATATAAACTGATTAATTTAAATCACTTCTTATATTCTTCTGTAG	7910
consenso_SLwhite	*****	*****
MN551232_D.buzzatii	TAATTACTAAAGAGCAATCATTAACAAAAGATATAAAACAAACTATTCAATCTAACATAAGAAA	7980
MN551234_D.koepferae_A	TAATTACTAAAGAGCAATCATTAACAAAAGATATAAAACAACTATTCAATCAATAAGAAA	7980
consenso_SLwhite	*****	*****
MN551232_D.buzzatii	TAATTACTAAAGAGCAATCATTAACAAAAGATATAAAACAAACTATTCAATCAATAAGAAA	7980
MN551234_D.koepferae_A	TAATTACTAAAGAGCAATCATTAACAAAAGATATAAAACAAACTATTCAATCAATAAGAAA	7980
consenso_SLwhite	*****	*****
MN551232_D.buzzatii	TTATAACAACTGAAATTGAAACTACCTCTCATCAATAAAATAATTATCATTAATAAA	8050
MN551234_D.koepferae_A	TTATAACAACTGAAATTGAAACTACCTCTCATCAATAAAATAATTATCATTAATAAA	8050
consenso_SLwhite	*****	*****
MN551232_D.buzzatii	AAAATTAACTCTTAAACATCTAACATTCTAACATTAACTAAATCTAACATTCTAACATT	8120
MN551234_D.koepferae_A	AAAATTAACTCTTAAACATCTAACATTCTAACATTAACTAAATCTAACATTCTAACATT	8120
consenso_SLwhite	*****	*****
MN551232_D.buzzatii	AAAATTAACTCTTAAACATCTAACATTCTAACATTAACTAAATCTAACATTCTAACATT	8120
MN551234_D.koepferae_A	AAAATTAACTCTTAAACATCTAACATTCTAACATTAACTAAATCTAACATTCTAACATT	8120
consenso_SLwhite	*****	*****
MN551232_D.buzzatii	TGATAAATTTCTATGATCTAAATGATTAACCTCATATCACTAACACCACAAAATTGATTTTTTAAA	8190
MN551234_D.koepferae_A	TGATAAATTTCTATGATCTAAATGATTAACCTCATATCACTAACACCACAAAATTGATTTTTTAAA	8190
consenso_SLwhite	*****	*****
MN551232_D.buzzatii	TGATAAATTTCTATGATCTAAATGATTAACCTCATATCACTAACACCACAAAATTGATTTTTTAAA	8190
MN551234_D.koepferae_A	TGATAAATTTCTATGATCTAAATGATTAACCTCATATCACTAACACCACAAAATTGATTTTTTAAA	8190
consenso_SLwhite	*****	*****
MN551232_D.buzzatii	CTATTTAAATATACTCATATAAACATATCTCCCTCAAAATTAAATTAAGGTAATCAATGTA	8260
MN551234_D.koepferae_A	CTATTTAAATATACTCATATAAACATATCTCCCTCAAAATTAAATTAAGGTAATCAATGTA	8260
consenso_SLwhite	*****	*****
MN551232_D.buzzatii	CTATTTAAATATACTCATATAAACATATCTCCCTCAAAATTAAATTAAGGTAATCAATGTA	8260
MN551234_D.koepferae_A	CTATTTAAATATACTCATATAAACATATCTCCCTCAAAATTAAATTAAGGTAATCAATGTA	8260

consenso_SLwhite
MN551232_D.buzzatii
MN551234_D.koepferae_A

GATACTAAAATTGATACCCTAATGCTCCTCACACTCTAAAAGTTAAATCTAAATGATTGAAAATAATCATTCCCATGAGTCGAATTATT 9590
ATATAATTAAATTAAACATTATATAATTCTAAATGATTGAAAATAATCATTCCCATGAGTCGAATTATT 9590
ATATAATTAAATTAAACATTATATAATTCTAAATGATTGAAAATAATCATTCCCATGAGTCGAATTATT 9590

GATACTAAAATTGATACCCTAATGCTCCTCACACTCTAAAAGTTAAATCTAAATGATTGAAAATAATCATTCCCATGAGTCGAATTATT 9660
GATACTAAAATTGATACCCTAATGCTCCTCACACTCTAAAAGTTAAATCTAAATGATTGAAAATAATCATTCCCATGAGTCGAATTATT 9660
GATACTAAAATTGATACCCTAATGCTCCTCACACTCTAAAAGTTAAATCTAAATGATTGAAAATAATCATTCCCATGAGTCGAATTATT 9660

TTTCATAATTAAATATTTAAATAAATATAAAAAAAATAAATTAACATCAACTCTAAACT 9730
TTTCATAATTAAATATTTAAATAAATATAAAAAAAATAAATTAACATCAACTCTAAACT 9730
TTTCATAATTAAATATTTAAATAAATATAAAAAAAATAAATTAACATCAACTCTAAACT 9730

TAATAATATTGAAAGTAAATGTTACGATTGAAACAAAACAAAAAAACAAAAAAACAAAAAAATTAACATCAACTCTAAACT 9800
TAATAATATTGAAAGTAAATGTTACGATTGAAACAAAACAAAAAAACAAAAAAATTAACATCAACTCTAAACT 9800
TAATAATATTGAAAGTAAATGTTACGATTGAAACAAAACAAAAAAACAAAAAAATTAACATCAACTCTAAACT 9800

GGCAATCTCAATACAAAATTATAATCATTAGTTAATAGTTAATAAAACATTGGCTTGAAATCA 9870
GGTAATCTCAATATAAAATTATAATCATTAGTTAATAGTTAATAAAACATTGGCTTGAAATCA 9870
GGCAATCTCAATACAAAATTATAATCATTAGTTAATAGTTAATAAAACATTGGCTTGAAATCA 9870
*** *****

AAAATAAGA--ATTTTCTTTAAACTTCAGAAAAAGATGTTCTTTCATTAATCCCCAAATTAA 9940
AAAATAAGA--TTTTCTTTAAACTTCAGAAAAAGATGTTCTTTCATTAATCCCCAAATTAA 9940
AAAATAAGA--ATTTTCTTTAAACTTCAGAAAAAGATGTTCTTTCATTAATCCCCAAATTAA 9940

TATTTTATTATAAACATTCTGAAATTCTCAATTAAATTCTTATTCAATTATTTTAACTCAA 10010
TATTTTATTATAAACATTCTGAAATTCTCAATT-AATTCTTATTCTTATTCAATTATTTTAAACATCAA 10010
TATTTTATTATAAACATTCTGAAATTCTCAATT-AATTCTTATTCTTATTCAATTATTTTAAACATCAA 10010

TTTTTTATTATAATATAATTCAACCCATTAGCAATAGGTTAACACTATTAACTCAAACAATTAA 10080
TTTTTTATTATAATATAATTCAACCCATTAGCAATAGGTTAACACTATTAACTCAAACAATTAA 10080
TTTTTTATTATAATATAATTCAACCCATTAGCAATAGGTTAACACTATTAACTCAAACAATTAA 10080

GTTTAATCTGGCTAATAACAAAACCTTTGATTTCTTATTTTATTTTAACTTTGGGGGG 10150
GTTTAATCTGGCTTAAATAACAAAACCTTTGATTTCTTATTTTATTTTAACTTTGGGGGG 10150
GTTTAATCTGGCTAATAACAAAACCTTTGATTTCTTATTTTAACTTTGGGGGG 10150

TATAGTTTATTATTTATGTACATCTTAGCTTAATGAAATTAACTATCTTACATTTAA 10220
AATACTAGTTTATTATTTATGTACATCTTAGCTTAATGAAATTAACTATCTTACATTTAA 10220
TATAGTTTATTATTTATGTACATCTTAGCTTAATGAAATTAACTATCTTACATTTAA 10220
*** *****

ACAAATAATTGTTTATTAAATTCAAGAATTAAATTAAATTAAATTAAATTAAATTAA 10290
ACGATAATTGTTTATTAAATTCAAGAATTAAATTAAATTAAATTAAATTAAATTAA 10290
ACAAATAATTGTTTATTAAATTCAAGAATTAAATTAAATTAAATTAAATTAAATTAA 10290
*** *****

CTTTTTTTAATTAATAATGAAATACAAAATTTCATATATTTCATATTTCAGAAAATTCTT 10360
CTTTTTTTAATTAATAATGAAATACAAAATTTCATATATTTCATATTTCAGAAAATTCTT 10360
CTTTTTTTAATTAATAATGAAATACAAAATTTCATATATTTCATATTTCAGAAAATTCTT 10360

ATCTCTTAATAAATTATATAATTTCACAAATTGTAACTTCTTATAAAATTCTCTAATT 10430
ATCTCTTAATAAATTATATAATTTCACAAATTGTAACTTCTTATAAAATTCTCTAATT 10430
ATCTCTTAATAAATTATATAATTTCACAAATTGTAACTTCTTATAAAATTCTCTAATT 10430

ACATTAATTGTTATTGAAAATTCAACAAATTTCACACTTCAATTGCTAATAATGTTA 10500
ACATTAATTGTTATTGAAAATTTCACACTTCAATTGCTAATAATGTTAAGGACCTTCGAC 10500
ACATTAATTGTTATTGAAAATTTCACACTTCAATTGCTAATAATGTTAAGGACCTTCGAC 10500

AACATTACGAACTTCACATCCACTTAAATTGCTAATAATGTTAATTGATTACCGACCTAT 10570
AACATTACGAACTTCACCCACTTAAATTGCTAATAATGTTAAGGACCTTCGAC 10570
AACATTACGAACTTCACATCCACTTAAATTGCTAATAATGTTAAGGACCTTCGAC 10570

TAATTTCTCCTGATGAAATTGGATCTTTAGGATTAT-----TTATCCAAATTAACTGG 10640
TAATTTCTCCTGATGAAATTGGATCTTTAGGATTATGTTAATTATCCAAATTAAACCGG 10640
TAATTTCTCCTGATGAAATTGGATCTCTCTAGGATTATGTTAATTATCCAAATTAAACTGG 10640

TTATTTTAGCTATACACTACAGCTGATATTAAATAGCATTCAATAGAGTTAATCATATTGCGCG 10710
TTATTTTAGCTATACACTACAGCGATATTAAATAGCATTCAATAGAGTTAACATATTGCGCG 10710
CTATTTTAGCTATACACTACAGCTGATATTAAATAGCATTCAATAGAGTTAATCATATTGCGCG 10710

ATGTAATTGTTGATTACCGAACATACATGCTAACGGAGCTTC--TTTTTTTATTGTATT 10780

MN551232_D.buzzatii MN551234_D.koepferae_A ATGTAATTATGGTGTAGTACGAACAATACAGCTAACGGAGCTCTTTTTTATTTGATTTA 10780

 ATGTAATTATGGTGTAGTACGAACAATACAGCTAACGGAGCTCTTTTTTATTTGATTTA 10780

consenso_SLwhite MN551232_D.buzzatii MN551234_D.koepferae_A TTTACATGTAGGCGAGGAATTATTACGGATCATATTACAGCCAACCTGATTAATTGGAGTTATT 10850
 TTTACATGTAGGCGAGGAATTATTACGGATCATATCTATTACACCAACTGATTAATTGGAGTTATT 10850
 CTTACATGTAGGCGAGGAATTACTATGGATCATACTTATTACACCAACTGATTAATTGGAGTTATT 10850

consenso_SLwhite MN551232_D.buzzatii MN551234_D.koepferae_A ATCTTATTAGTAATAGGAACGTCTTTAGGATACGTTTACCATGAGGTCAAATATCTTGAG 10920
 ATTCTATTAGTAATAGGAACGTCTTTAGGTTACGTTTACCATGAGGTCAAATATCTTGAG 10920
 ATTCTATTAGTAATAGGAACGTCTTTAGGTTACGTTTACCATGAGGTCAAATATCTTGAG 10920

consenso_SLwhite MN551232_D.buzzatii MN551234_D.koepferae_A GAGCAACAGTAATTACTAACTTACGCTCCCTATTAGGAATTGATTAGTACAATGAATTG 10990
 GAGCAACAGTAATTACTAACCTTTATCAGCTGTCCTTATTAGGAATTGATTAGTACAATGAATTG 10990
 GAGCAACAGTAATTACTAACCTTTATCAGCTGTCCTTATTAGGAATTGATTAGTACAATGAATTG 10990

consenso_SLwhite MN551232_D.buzzatii MN551234_D.koepferae_A AGGAGGATTGCTGTTGATAACGCAACTTAACTCGATTTCACATTGATTACCTTTATT 11060
 AGGAGGTTGCTGTTGATAACGCAACTTAACTCGATTTCACATTGATTACCTTTATT 11060
 AGGAGGTTGCTGTTGATAACGCAACTTAACTCGATTTCACATTGATTACCTTTATT 11060

consenso_SLwhite MN551232_D.buzzatii MN551234_D.koepferae_A GTTTTAGCTATAACTATAATTCTTACATTGTTACACCAAACAGGTCACCTTACCTTTATT 11130
 GTTTTAGCTATAACTATAATTCTTACATTGTTACACCAAACAGGTCACCTTACCTTTATT 11130
 GTTTTAGCTATAACTATAATTCTTACATTGTTACACCAAACAGGTCACCTTACCTTTATT 11130

consenso_SLwhite MN551232_D.buzzatii MN551234_D.koepferae_A ACTCAATGTAGATAAAATTCCCTTCACCCCTTATTTACCTTACACCAAACAGGTCACCTTACCTTTATT 11200
 ACTCAAAATAGATAAAATTCCCTTCACCCCTTATTTACCTTACACCAAACAGGTCACCTTACCTTTATT 11200
 ACTCAATGTAGATAAAATTCCCTTCACCCCTTACCTTACACCAAACAGGTCACCTTACCTTTATT 11200

consenso_SLwhite MN551232_D.buzzatii MN551234_D.koepferae_A ----- 11270
 AATTTTGCTTAATTCTTAAATTAACTAACCCCAATTATAGGTGACCCGATAATTTCATCCC 11270
 AATTTTGCTTAATTCTTAAATTAACTAACCCGATAATTAGGTGACCCGATAATTTCATCCC 11270

consenso_SLwhite MN551232_D.buzzatii MN551234_D.koepferae_A ----- 11340
 GCTAACCCCTTAGAACACCAGTCATATTCAACCTGAATGATATTCTTATTCATACGCAATCTTAC 11340
 GCTAACCCCTTAGAACACCAGTCATATTCAACCTGAATGATACTCTTATTCATACGCAATCTTAC 11340

consenso_SLwhite MN551232_D.buzzatii MN551234_D.koepferae_A ----- 11410
 GATCAATTCCAATAAAATTAGGAGGAGTAATTGCTTAGTTCTATTGCAATTAAATCTGCC 11410
 GATCTATCCCTAATAAAATTAGGAGGAGTAATTGCTTAGTTCTATTGCAATTCTAATAATTTCACC 11410

consenso_SLwhite MN551232_D.buzzatii MN551234_D.koepferae_A ----- 11480
 TTTTACCTTAAGAAAATTCCGAGGAATTCAATTCTATTGCAATTAAATCTTGAATTATA 11480
 TTTTATCATTAAAGAAAATTCCGAGGAATTCAATTCTATTGCAATTAAATCTTGAATTATA 11480

consenso_SLwhite MN551232_D.buzzatii MN551234_D.koepferae_A ----- 11550
 GTAGTTACAGTAATTCTTAACTGAATTGGAGCACGACCAGTGAAGAACCTATGTTCTACTGGTC 11550
 GTAGTTACAGTAATTCTTAACTGAATTGGAGCACGACCAGTGAAGAACCTATGTTCTACTGGTC 11550

consenso_SLwhite MN551232_D.buzzatii MN551234_D.koepferae_A ----- 11620
 AAATTTAACAGTAATTCTTATATTCTATTGAAATACCCAAATTAAATAATGAGATAATT 11620
 AAATTTAACTGTAATTCTTATATTACTTAATTAAACCCACTTAAATAATGAGATAATT 11620

consenso_SLwhite MN551232_D.buzzatii MN551234_D.koepferae_A ----- 11690
 ATTAATTAAGTTAATGAGCTTGAATAAGCATATGTTGAAAACATAAGATAGGAATTCTCTAT 11690
 ATTAATTAAGTTAATGAGCTTGAATAAGCATATGTTGAAAACATAAGATAGGAATTCTCTAT 11690

consenso_SLwhite MN551232_D.buzzatii MN551234_D.koepferae_A ----- 11760
 TAACTTACTAAAAATAATTCTATAATAAAAGAAAATAAAATTAAACCAATAAAACATTAA 11760
 TAACTTACTAAAAATAATTCTATAATAAAAGAAAATAAAATTAAACCAATAAAACATTAA 11760

consenso_SLwhite MN551232_D.buzzatii MN551234_D.koepferae_A ----- 11830
 ATAATTTAAAGAAAAGATAAAAAACATTCAAGCTAAACATTAATTCTATACAAACGAGGT 11830
 ATAATTTAAAGAAAAGATAAAAAACATTCAAGCTAAACATTAATTCTATACAAACGAGGT 11830

consenso_SLwhite MN551232_D.buzzatii MN551234_D.koepferae_A ----- 11900
 AAAGTCCCACGCACCAAATAAAAGAAAATTAAATAATTAAATAAAATAAAATAAA 11900
 AAAGTACCTCGCACCAAATAAAAGAAAATTAAATAATTAAATAAAATAAAATAAA 11900

consenso_SLwhite MN551232_D.buzzatii MN551234_D.koepferae_A ----- 11970
 CATCACACCTAAAAAAATTACACAAAATAATACTTATAAAATTCTGCTACTCAGCTAAAAA 11970
 CATCACACCTAAAAAAATTACACAAAATAATACTTATAAAATTCTGCTACTCAGCTAAAAA 11970

consenso_SIwhite MN551232_D.buzzatii MN551234_D.koepferae_A	----- AATTAAGCAACCTCCCTTCTATACCTACATTAAACCCAGAAA AATTAAGCAACCCCTCTTCTATACATTAAACCCAGAAA ----- 12040 12040 12040
consenso_SIwhite MN551232_D.buzzatii MN551234_D.koepferae_A	----- AAATCAAAGGAGTACGATTAGTTCTGCCAAGAA AAATCAAAGGAGTACGATTAGTTCTGCTAATGAA ----- 12110 12110 12110
consenso_SIwhite MN551232_D.buzzatii MN551234_D.koepferae_A	----- TAATTAACATCAGATA TAACATCAGATA ----- 12180 12180
consenso_SIwhite MN551232_D.buzzatii MN551234_D.koepferae_A	----- AAAAGATAATAAA AAATGATAATAA ----- 12250 12250 12250
consenso_SIwhite MN551232_D.buzzatii MN551234_D.koepferae_A	----- AATAAGCATAATTGAATTGATCAACCTGCAACTATA AATAAGCATAATTGAATTGAGATCAACCTGCAACTATA ----- 12320 12320 12320
consenso_SIwhite MN551232_D.buzzatii MN551234_D.koepferae_A	----- ATAAAAAAATAAAC ATAAAAAAATAA ----- 12390 12390 12390
consenso_SIwhite MN551232_D.buzzatii MN551234_D.koepferae_A	----- TAAAGATAAAA TAGAGATAAAA ----- 12460 12460 12460
consenso_SIwhite MN551232_D.buzzatii MN551234_D.koepferae_A	----- TGTTCTTGTA TGTTCTTGTA ----- 12530 12530 12530
consenso_SIwhite MN551232_D.buzzatii MN551234_D.koepferae_A	----- GACCTTACGA GACCTTACGA ----- 12600 12600
consenso_SIwhite MN551232_D.buzzatii MN551234_D.koepferae_A	----- TACACAAATA TACACAA ----- 12670 12670
consenso_SIwhite MN551232_D.buzzatii MN551234_D.koepferae_A	----- TAAAT-AAAT TAAAT ----- 12740 12740
consenso_SIwhite MN551232_D.buzzatii MN551234_D.koepferae_A	----- ATTCA ATTCA ----- 12810 12810
consenso_SIwhite MN551232_D.buzzatii MN551234_D.koepferae_A	----- TAGAAACCA TAGAAACCA ----- 12880 12880
consenso_SIwhite MN551232_D.buzzatii MN551234_D.koepferae_A	----- AATTAAGCG AATTAAGCG ----- 12950 12950
consenso_SIwhite MN551232_D.buzzatii MN551234_D.koepferae_A	----- AACTCTCC AACTCTCC ----- 13020 13020
consenso_SIwhite MN551232_D.buzzatii MN551234_D.koepferae_A	----- TATTCA TATTCA ----- 13090 13090
consenso_SIwhite MN551232_D.buzzatii MN551234_D.koepferae_A	----- TATTTTATA TATTTTATA ----- 13160 13160
consenso_SIwhite MN551232_D.buzzatii MN551234_D.koepferae_A	----- GTCTTTAA GTCTTTAA ----- 13230 13230

MN551234_D.koepferae_A	GTCTTTAAATAAATTTAGCTTTGACTAAAAAATAAAATTCTAAAAAAATTAAATGAAACAGTTA	13230
consenso_SLwhite MN551232_D.buzzatii MN551234_D.koepferae_A	----- ATATTCGTCCAACCATTCAATTCCAGCCTCAATTAAAAGACTAATGATTGCTACCTTGACAGTTA ATATTCGTCCAACCATTCAATTCCAGCCTCAATTAAAAGACTAATGATTGCTACCTTGACAGTTA	13300 13300 13300
consenso_SLwhite MN551232_D.buzzatii MN551234_D.koepferae_A	----- AAATACTCGGCCATTAAAATTCAAGTGGCAGGTTAGACTTAAATTCAAAGACATGTTT GAATACTCGGCCATTAAAATTCAAGTGGCAGGTTAGACTTAAATTCAAAGACATGTTT	13370 13370 13370
consenso_SLwhite MN551232_D.buzzatii MN551234_D.koepferae_A	----- TGTTAACAGGCACATTATTTGCGAATTCTTACTTAAACTTTCATTTATTTATTACAA TGTTAACAGGCACATTATTTGCGAATTCTTATTAAACTTTCATTTACATTACTATT	13440 13440 13440
consenso_SLwhite MN551232_D.buzzatii MN551234_D.koepferae_A	----- TATATGTATATATACTAATTTCATTACTTAACCTAAAATTAAAGTTAATTTCAATAAA ---TACAATAATATATACTAATTTCATTACTTAATTAAAATTAAATTTCAATAAA	13510 13510 13510
consenso_SLwhite MN551232_D.buzzatii MN551234_D.koepferae_A	----- TAATTAAAATATAATAAAATTATTTATAAAAATTATAACATAATTAAACAATTGCTAATT TAATTAAAATATAATAAAATTATTTATAAAAATTATAACATAATTAAACAATTGCTAATT	13580 13580 13580
consenso_SLwhite MN551232_D.buzzatii MN551234_D.koepferae_A	----- TAAGCATATTTTAAATTATTATTATTATAAAAATTATTAGCTATCCCATAAAATT TAAGCATATTTTAAATTATTATTATAAAAATTATTAGCTATCCCATAAAATT	13650 13650 13650
consenso_SLwhite MN551232_D.buzzatii MN551234_D.koepferae_A	----- AAATTATAAATTATTAAATTAAATTTAAATATAAAATTCTGAATTAAATTCT AAATTATAAACTATTAAATTAAATTTAAATATAAAATTCTGAATTAAATTCT	13720 13720 13720
consenso_SLwhite MN551232_D.buzzatii MN551234_D.koepferae_A	----- TGAAAACTAGATACCTTAAAACGAATAACATTCTATTCTAATAATAATTCT TGAAAACTAGATACCTTAAAACGAATAACATTCTATTCTAATAATAATTCT	13790 13790 13790
consenso_SLwhite MN551232_D.buzzatii MN551234_D.koepferae_A	----- CAATAACTTTAATATTAACTCTTTAAAATCGAGAAAATTTCATATT CAATAACTTTAATATTAACTCTTTAAAATCGAGAAAATTTCATATT	13860 13860 13860
consenso_SLwhite MN551232_D.buzzatii MN551234_D.koepferae_A	----- CACTGATACACAAGGTACAATAAATTAAATTCTTTAAAATTTCAAAATT CACTGATACACAAGGTACAATAAATTAAATTCTTTAAAATTTCAAAATT	13930 13930 13930
consenso_SLwhite MN551232_D.buzzatii MN551234_D.koepferae_A	----- CTTTTACAATACTATTAAACTATTAAATTATTCTTTCTTAAACAATCT CTTTTACAATACTATTAAACTATTAAATTATTCTTTCTTAAACAATCT	14000 14000 14000
consenso_SLwhite MN551232_D.buzzatii MN551234_D.koepferae_A	----- AAATTATTTAATTTAAATAAAACTAAAAAAATTAAATAAAATAAACT AAATTATTTAATCTTAAATAAAATTAAATAAAATAAACT	14070 14070 14070
consenso_SLwhite MN551232_D.buzzatii MN551234_D.koepferae_A	----- TTGCACAAAAATCTTCAATGTAATGAAATGCTTACTTAATAAGCT TTGCACAAAAATCTTCAATGTAATGAAATGCTTACTTAATAAGCT	14140 14140 14140
consenso_SLwhite MN551232_D.buzzatii MN551234_D.koepferae_A	----- ACTTCCAGTACATCTACTATGTTACGACTTATCTTACCTTAATAA ACTTCCAGTACATCTACTATGTTACGACTTATCTTACCTTAATAA	14210 14210 14210
consenso_SLwhite MN551232_D.buzzatii MN551234_D.koepferae_A	----- TATTTAGAGCTAAATCAAATTAAATCTATAATTCTTACAACCA TATTTAGAGCTAAATCAAATTAAATCTATAATTCTTACAACCA	14280 14280 14280
consenso_SLwhite MN551232_D.buzzatii MN551234_D.koepferae_A	----- CATAATTCTCCGTATAAAATAATTATTGTAACCCATTACT CATAATTCTCCGTATAAAATAATTATTGTAACCCATTACT	14350 14350 14350
consenso_SLwhite MN551232_D.buzzatii MN551234_D.koepferae_A	----- GATATAAATTCTTTAAAATTATTGAATATTATAATTCT GATATAAATTCTTTAAAATTATTGAATATTATAATTCT	14420 14420 14420

consenso_SLwhite MN551232_D.buzzatii MN551234_D.koepferae_A	----- AACTGATAACAAACTTAAGTAAGGTCCATCGGGATTATCGATTACAAAACAGGTTCTGGATAGACT AACTGATTACAAACTTAAGTAAGGTCCATCGGGATTATCGATTACAAAACAGGTTCTGGATAGACT	14490 14490 14490
consenso_SLwhite MN551232_D.buzzatii MN551234_D.koepferae_A	----- AAAATACCGCAAATTTTAAGTTCAAGAACATAACTATTACTACTTAAGTATTTATTTACATTT AAAATACCGCAAATTTTAAGTTCAAGAACATAACTATTACTACTTAAGTATTTATTTACATTT	14560 14560 14560
consenso_SLwhite MN551232_D.buzzatii MN551234_D.koepferae_A	----- AAATAATAGGGTATCTAATCCTAGTTAATTAAATTTGCAAGCCTCAATTATTTAATATAAAAAA AAATAATAGGGTATCTAATCCTAGTTAATTAAATTTGCAAGCCTCAATTATTTAATATAAAAAA	14630 14630 14630
consenso_SLwhite MN551232_D.buzzatii MN551234_D.koepferae_A	----- TTTAAATTAAAATTTCACTTAATAATTCAATTATTTAACAAAATCAATTAACTTTACTAATAA TTTAAATTAAAATTTCACTTAATAATTCAATTATTTAACAAAATCAATTAACTTCTACTAATAA	14700 14700 14700
consenso_SLwhite MN551232_D.buzzatii MN551234_D.koepferae_A	----- AATTCAATTGTATAATTAGTATAACCGCGATTGCTGCCACCAATTATCTATACTCTTAATTTACTA AATTCAATTGTATAATTAGTGTAAACCGCGATTGCTGCCACCAATTATCTATACTCTTAATTTACTA	14770 14770 14770
consenso_SLwhite MN551232_D.buzzatii MN551234_D.koepferae_A	----- TATCTAAATTCTTTAATTATAAAATTAAATTACTGCGGCTATAAAATAATTATTTAAATAAAA TATCTAAATTCTTTAATTATAAAATTAAATTACTGCGGCTATAAAATAATTATTTAAATAAAA	14840 14840 14840
consenso_SLwhite MN551232_D.buzzatii MN551234_D.koepferae_A	----- TAAAGTTCACACAAAAATTACATATAAAATCAAATTAAACAAATTTTAAGCCAAAATAACTTA TAAAATTCTCACACAAAAATTACATATAAAATCAAATTAAACAAATTTTAAGCCAAAATAACTTA	14910 14910 14910

8. Bibliografía

- Arnqvist, G., Dowling, D. K., Eady, P., Gay, L., Tregenza, T., Tuda, M., et al. (2010). Genetic architecture of metabolic rate: environment specific epistasis between mitochondrial and nuclear genes in an insect. *Evolution: International Journal of Organic Evolution*, 64 (12), 3354-3363.
- Aubert, J., & Solignac, M. (1990). Experimental evidence for mitochondrial DNA introgression between *Drosophila* species. *Evolution*, 44 (5), 1272-1282.
- Ballard, J. W. (2000). Comparative genomics of mitochondrial DNA in members of the *Drosophila melanogaster* subgroup. *Journal of Molecular Evolution*, 51 (1), 48-63.
- Brito, R. A., Manfrin, M. H., & Sene, F. M. (2002). Mitochondrial DNA phylogeography of Brazilian populations of *Drosophila buzzatii*. *Genetics and Molecular Biology*, 25 (2), 161-171.
- Clancy, D. J., Hime, G. R., & Shirras, A. D. (2011). Cytoplasmic male sterility in *Drosophila melanogaster* associated with a mitochondrial CYTB variant. *Heredity*, 107 (4), 374-376.
- Deremiens, L., Schwartz, L., Angers, A., Glémet, H., & Angers, B. (2015). Interactions between nuclear genes and a foreign mitochondrial genome in the redbelly dace *Chrosomus eos*. *Comparative Biochemistry and Physiology Part B: Biochemistry and Molecular Biology*, 189, 80-86.
- Manfrin, M. H., De Brito, R. O., & Sene, F. D. (2001). Systematics and evolution of the *Drosophila buzzatii* (Diptera: Drosophilidae) cluster using mtDNA. *Annals of the Entomological Society of America*, 94 (3), 333-346.
- Moreyra, N. N., Mensch, J., Hurtado, J., Almeida, F., Laprida, C., & Hasson, E. (2019). What does mitogenomics tell us about the evolutionary history of the *Drosophila buzzatii* cluster (*repleta* group)? *PloS one*, 14 (11).
- Rand, D. M., & Mossman, J. A. (2020). Mitonuclear conflict and cooperation govern the integration of genotypes, phenotypes and environments. *Philosophical Transactions of the Royal Society B*, 375 (1790).
- Reilly, J. G., & Thomas Jr, C. A. (1980). Length polymorphisms, restriction site variation, and maternal inheritance of mitochondrial DNA of *Drosophila melanogaster*. *Plasmid*, 3 (2), 109-115.
- Rodríguez López, L. C. (2015). Especiación en el género *Drosophila*: efectos sobre la *fitness* de introgresiones cromosómicas estables de *D. koepfereae* en *D. buzzatii*.
- Rossi, M. S., Latorre, A., Quezada-Díaz, J. E., Hasson, E., Moya, A., & Fontdevila, A. (1996). The evolutionary history of *Drosophila buzzatii*. XXX.

Mitochondrial DNA polymorphism in original and colonizing populations.
Molecular biology and evolution , 13 (2), 314-323.